

**VŠB – TECHNICKÁ UNIVERZITA OSTRAVA**

**FAKULTA STROJNÍ**

**KATEDRA ROBOTIKY**

# **BAKALÁŘSKA PRÁCE**

VŠB – Technická univerzita Ostrava

Fakulta strojní

Katedra robotiky

Návrh efektoru pro paletizaci kartonových krabic

Design of End Effector for Cardboard Box Palletizing

Student: Tomasz Kowalczyk

Vedoucí bakalářské práce: Ing. Michal Vocetka

Ostrava 2019

VŠB - Technická univerzita Ostrava  
Fakulta strojní  
Katedra robotiky

## Zadání bakalářské práce

Student: **Tomasz Kowalczyk**  
Studijní program: B2341 Strojírenství  
Studijní obor: 2301R013 Robotika  
Téma: **Návrh efektoru pro paletizaci kartonových krabic**  
**Design of End Effector for Cardboard Box Palletizing**  
Jazyk vypracování: čeština

Zásady pro vypracování:

1. Sestavte požadavkový list.
2. Zpracujte analýzu dostupných metod úchopu a navrhnete varianty řešení efektoru pro paletizaci kartonových krabic a kartonových prokladů na paletu (EPAL).
3. Navrhnete tři varianty řešení a provedete výběr optimální varianty.
4. Podrobný konstrukční návrh vybrané varianty zpracujte dle pokynů vedoucího. Tento podložíte kompletní výkresovou dokumentací a potřebnými výpočty. Zhodnoťte dosažené výsledky.
5. Práci doložíte v elektronické podobě a konstrukční řešení v CAD systému dle pokynů vedoucího.

Seznam doporučené odborné literatury:

Zásady pro vypracování diplomové (bakalářské) práce [online]. [cit. 2018-11-20]. Dostupné z: <http://robot.vsb.cz/pozadavky-na-prace/>

KÁRNÍK, Ladislav. Periferní zařízení RTP. Ostrava: VŠB - Technická univerzita, 2006. ISBN 80-248-1221-5.

PALKO, Anton a Juraj SMRČEK. Robotika: koncové efekторы pre priemyselné a servisné roboty : navrhovanie - konštrukcia - riešenie. Košice: [Technická univerzita],2004. ISBN 80 807-3218-3.

SKAŘUPA, Jiří. Kreativita a inovační myšlení v konstruování. Ostrava: VŠB, 2007. ISBN 978-80-248-1717-0.

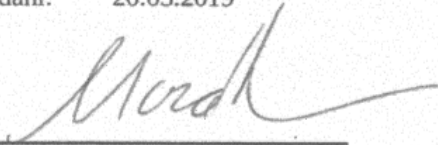
RTP – NAVRHOVÁNÍ A PRAKTICKÉ APLIKACE. Katedra robotiky: fakulta strojní VŠB-TU Ostrava [online]. Ostrava [cit. 2018-11-20]. Dostupné z: <http://robot.vsb.cz/file.php/rtp/navrhovani-a-prakticke-aplikace.pdf>

Formální náležitosti a rozsah bakalářské práce stanoví pokyny pro vypracování zveřejněné na webových stránkách fakulty.

Vedoucí bakalářské práce: **Ing. Michal Vocetka**

Datum zadání: 21.12.2018

Datum odevzdání: 20.05.2019



---

prof. Dr. Ing. Petr Novák  
vedoucí katedry



---

prof. Ing. Ivo Hlavatý, Ph.D.  
děkan fakulty

## Místopřísežné prohlášení studenta

Prohlašuji, že jsem celou bakalářskou práci včetně příloh vypracoval samostatně pod vedením vedoucího bakalářské práce a uvedl jsem všechny použité podklady a literaturu.

V Ostravě ..... 20.5.2019 .....

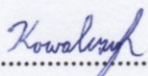
.....  
*Kovalický*

podpis studenta

Prohlašuji, že

- jsem byl seznámen s tím, že na moji bakalářskou práci se plně vztahuje zákon č. 121/2000 Sb., autorský zákon, zejména § 35 – užití díla v rámci občanských a náboženských obřadů, v rámci školních představení a užití díla školního a § 60 – školní dílo.
- beru na vědomí, že Vysoká škola báňská – Technická univerzita Ostrava (dále jen „VŠB-TUO“) má právo nevýdělečně ke své vnitřní potřebě bakalářskou práci užít (§ 35 odst. 3).
- souhlasím s tím, že bakalářská práce bude v elektronické podobě uložena v Ústřední knihovně VŠB-TUO k nahlédnutí a jeden výtisk bude uložen u vedoucího bakalářské práce. Souhlasím s tím, že údaje o kvalifikační práci budou zveřejněny v informačním systému VŠB-TUO.
- bylo sjednáno, že s VŠB-TUO, v případě zájmu z její strany, uzavřu licenční smlouvu s oprávněním užít dílo v rozsahu § 12 odst. 4 autorského zákona.
- bylo sjednáno, že užít své dílo – bakalářskou práci nebo poskytnout licenci k jejímu využití mohu jen se souhlasem VŠB-TUO, která je oprávněna v takovém případě ode mne požadovat přiměřený příspěvek na úhradu nákladů, které byly VŠB-TUO na vytvoření díla vynaloženy (až do jejich skutečné výše).
- beru na vědomí, že odevzdáním své práce souhlasím se zveřejněním své práce podle zákona č. 111/1998 Sb., o vysokých školách a o změně a doplnění dalších zákonů (zákon o vysokých školách), ve znění pozdějších předpisů, bez ohledu na výsledek její obhajoby.

V Ostravě : 20. 5. 2019

  
.....

podpis

Jméno a příjmení autora práce: Tomasz Kowalczyk

Adresa trvalého pobytu autora práce: Smilovice 114, Smilovice u Třince, 739 55

## **ANOTACE BAKALÁŘSKÉ PRÁCE**

Kowalczyk, T. *Návrh efektoru pro paletizaci kartonových krabic*: Bakalářská práce. Ostrava: VŠB – Technická univerzita Ostrava, Fakulta strojní, Katedra robotiky, 2019, 55 s. Vedoucí práce: Vocetka, M.

Bakalářská práce se zabývá konstrukčním návrhem efektoru pro manipulaci s dvěma druhy krabic a kartonovými proklady. Úvodní část práce seznamuje s podtlakovými úchopnými hlavicemi a vakuovými ejektory. V další části práce jsou navrženy tři varianty řešení, z kterých byla vybrána varianta optimální metodikou vícekriteriální analýzy. Dále se práce zabývá vlastní konstrukcí, potřebnými výpočty a tvorbou výkresové dokumentace. 3D model vybrané varianty je zpracován v CAD systému Creo Parametric.

## **ANNOTATION OF THE BACHELOR THESIS**

Kowalczyk, T. *Design of End Effector for Cardboard Box Palletizing*: Bachelor thesis. Ostrava: VŠB – Technical University of Ostrava, Faculty of Mechanical Engineering, Department of Robotics, 2019, 55 p. Thesis head: Vocetka, M.

The bachelor thesis is focused on a design of end effector for manipulation with two types of cardboard boxes and cardboard leading. An introductory part acquaints us with suction cups and vacuum ejectors. In the next part of the thesis, three variants of the solution are designed, from which the optimal solution was chosen by multi-criteria analysis. Furthermore, the work deals with construction, necessary calculations and drawing documentation. 3D model of selected variant is made in CAD software Creo Parametric.

## **Poděkování**

Rád bych poděkoval mému vedoucímu bakalářské práce Ing. Michalovi Vocetkovi za cenné rady a připomínky, odborné vedení a ochotu, kterou mi během zpracování bakalářské práce věnoval.



# Obsah

<b>Seznam obrázků</b> .....	<b>10</b>
<b>Seznam tabulek</b> .....	<b>12</b>
<b>Seznam použitých značek a symbolů</b> .....	<b>13</b>
<b>Úvod</b> .....	<b>14</b>
<b>1 Rešerše</b> .....	<b>15</b>
1.1 Přísavky (Podtlakové úchopné hlavice) .....	15
1.1.1 Rozdělení přísavek podle tvaru.....	16
1.1.2 Materiály přísavek .....	18
1.1.3 Přípoje, ventily a příslušenství přísavek .....	18
1.2 Vakuové ejektory.....	19
1.2.1 Zdroje vakua .....	20
1.2.2 Jednostupňový ejektor .....	20
1.2.3 Vícestupňový ejektor .....	21
<b>2 Požadavkový list</b> .....	<b>22</b>
2.1 Popis pracoviště.....	23
2.2 Popis robotu.....	25
<b>3 Varianty řešení</b> .....	<b>26</b>
3.1 Varianta A .....	26
3.2 Varianta B.....	27
3.3 Varianta C.....	28
<b>4 Výběr optimální varianty</b> .....	<b>30</b>
4.1 Kritéria hodnocení .....	30
4.2 Významnost kritérií .....	30
4.3 Stupnice hodnocení .....	31
4.4 Hodnocení variant .....	31
4.5 Určení významnosti.....	32
4.6 Určení vážených indexů pro jednotlivá kritéria .....	34
<b>5 Optimální varianta</b> .....	<b>36</b>
5.1 Konstrukce.....	36
5.1.1 Rám.....	36
5.1.2 Interface .....	37

5.1.3	Uchycení přísavek.....	38
5.1.4	Uchycení ejektorů .....	38
5.2	Pneumatické prvky .....	39
5.2.1	Ejektor.....	39
5.2.2	Přísavky.....	42
5.2.3	Šroubení .....	43
5.2.4	Hadice .....	44
5.3	Senzor pro měření vzdáleností .....	44
5.4	Pneumatický okruh.....	46
5.4.1	Výpočet maximálního zrychlení robotu.....	47
5.4.2	Výpočet odporové síly .....	48
5.4.3	Výpočet bezpečnosti u kartonových prokladů.....	49
5.4.4	Kontrola rozmístění přísavek.....	49
<b>6</b>	<b>Závěr.....</b>	<b>51</b>
	<b>Seznam použité literatury .....</b>	<b>52</b>
	<b>Přílohy.....</b>	<b>55</b>

## Seznam obrázků

Obr. 1	Různé druhy přísavek [4].....	15
Obr. 2	Universální přísavka [5].....	16
Obr. 3	Přísavka s vlnovcem [6].....	16
Obr. 4	Plochá přísavka [7] .....	17
Obr. 5	Plochá přísavka s opěrnými žebry [9].....	17
Obr. 6	Konkávní přísavka [10] .....	17
Obr. 7	Přípoje [8] .....	18
Obr. 8	Pružné vyrovnávací upevnění [8] .....	19
Obr. 9	Jednostupňový ejektor [14].....	21
Obr. 10	Vícestepňový ejektor [15] .....	21
Obr. 11	Zadané pracoviště .....	23
Obr. 12	Layout pracoviště.....	24
Obr. 13	Robot ABB IRB 460 IRC5 [28] .....	25
Obr. 14	Varianta A.....	26
Obr. 15	Uchycení přísavky .....	27
Obr. 16	Varianta B.....	27
Obr. 17	Koutový svar.....	28
Obr. 18	Varianta C .....	28
Obr. 19	Uchycení přísavky .....	29
Obr. 20	Závislost váhy významnosti na počtu voleb .....	34
Obr. 21	Optimální varianta ve finální podobě se všemi potřebnými prvky.....	36
Obr. 22	Úhelník [18].....	37
Obr. 23	Rám.....	37
Obr. 24	Interface s prstencem-rozložený pohled .....	38
Obr. 25	Dílce pro uchycení přísavek .....	38
Obr. 26	Držák ejektorů.....	39
Obr. 27	Ejektor OVEM [21] .....	40
Obr. 28	Graf závislosti spotřeby stlačeného vzduchu na provozním tlaku [23].....	40
Obr. 29	Graf závislosti času odsátí 1 litru vzduchu na úrovni vakua při provozním tlaku 6 bar [23].....	41

---

Obr. 30	Graf závislosti úrovně vakua na provozním tlaku [23].....	41
Obr. 31	Plochá přísavka [24] .....	43
Obr. 32	Quick Star spojení [25] .....	43
Obr. 33	Nástrčná spojení, rozbočovač, redukce [27] .....	44
Obr. 34	Senzor W2S-2 [26] .....	44
Obr. 35	Rozmístění pneumatických okruhů .....	46
Obr. 36	Výsledek pevnostní analýzy kartonového prokladu .....	50

---

## Seznam tabulek

Tab. 1 Rozdělení vakua .....	19
Tab. 2 Kritéria hodnocení .....	30
Tab. 3 Významnost kritérií .....	30
Tab. 4 Hodnoty kritérií .....	31
Tab. 5 Parametry a vlastnosti návrhu.....	31
Tab. 6 Hodnocení navržených variant – autor .....	31
Tab. 7 Hodnocení navržených variant – posuzovatel .....	32
Tab. 8 Průměrné hodnocení .....	32
Tab. 9 Porovnání jednotlivých kritérií hodnocení – autor .....	32
Tab. 10 Porovnání jednotlivých kritérií hodnocení – posuzovatel .....	33
Tab. 11 Průměrný počet voleb pro jednotlivá kritéria a určení váhy významnosti.....	33
Tab. 12 Vypočtené vážené indexy .....	35
Tab. 13 Konečné pořadí.....	35
Tab. 14 Vlastnosti a parametry ejektoru OVEM-10-L-B-QO-CE-N-LK [23].....	42
Tab. 15 Vlastnosti a parametry senzoru WTB2S-2P3245 [26] .....	45

## Seznam použitých značek a symbolů

Značka	Význam	Jednotka
$a$	Zrychlení robotu	$m \cdot s^{-2}$
$a_{\max}$	Maximální zrychlení robotu	$m \cdot s^{-2}$
$C$	Součinitel odporu pro rovnou a tenkou desku	–
$D$	Průměr přísavky	mm
$F_g$	Gravitační síla	N
$F_{\text{odp}}$	Odporová síla	N
$F_s$	Setrvačná síla	N
$g$	Gravitační zrychlení	$m \cdot s^{-2}$
$I$	Proud	A
$k$	Koeficient bezpečnosti	–
$m_k$	Hmotnost krabice	kg
$m_p$	Hmotnost prokladu	kg
$n$	Počet přísavek	–
$p_{kk}$	Pevnost kartonu krabice v průtlaku	KPa
$p_{kp}$	Pevnost kartonu prokladu v průtlaku	KPa
$p_u$	Provozní tlak	bar
$p_{u\max}$	Maximální úroveň vakua	bar
$p_v$	Úroveň vakua	KPa
$q$	Váha významnosti	–
$S$	Obsah prokladu	$m^2$
$U$	Napětí	V
$v$	Rychlost robotu	$m \cdot s^{-1}$
$W_{\max}$	Maximální průhyb	mm
$\mu$	Koeficient tření	–
$\rho$	Hustota vzduchu	$kg \cdot m^{-3}$
OM	Objekt manipulace	
QS	Quick star	
SMD	Surface mount device	

## Úvod

Robotizace v posledních desetiletích stále vzrůstá. Roboty nahrazují pracovní místa ve všech oblastech průmyslu, a velmi často vykonávají fyzický náročnou a monotónní činnost, která bývá mezi zaměstnanci neoblíbená. Není tomu jinak ani u paletizace. Důležitou a nedílnou součástí robotizace je návrh efektorů, bez kterých by roboty byly nepoužitelné.

Tato práce se zabývá konstrukčním návrhem efektoru, který je využíván k paletizaci dvou druhů krabic a k manipulaci s kartonovými proklady. Efektor bude umístěn na paletizačním robotu s čtyřmi stupni volnosti. Při samotném návrhu je třeba brát ohled na zadané pracoviště, tj. rozmístění a polohu jednotlivých dopravníků a objektů manipulace.

# 1 Rešerše

Téma rešerše je zaměřeno na získání podstatných informací ohledně přísavek a výroby vakua, pro následný návrh efektoru.

## 1.1 Přísavky (Podtlakové úchopné hlavice)

Ve všech oblastech se neustále setkáváme s potřebou přemísťovat nebo manipulovat s různými předměty. U těžko uchopitelných rovinných těles, jaké jsou např. skleněné tabule, ocelové pláty nebo také drobné součásti jakými jsou SMD (surface mount device), se osvědčily podtlakové úchopné hlavice, využívající vlastnosti podtlaku. Úchopná síla je vytvořena podtlakem v přísavce, která slouží k uchopení a manipulaci s objekty. Tyto úchopné hlavice bývají často využity jako koncové prvky efektorů u složitých robotizovaných pracovišť. Používají se také úchopné hlavice mechanické, magnetické nebo speciální.

Přísavky se rozdělují podle způsobu vyvození uchopovací síly na aktivní a pasivní. U pasivních přísavek je síla vyvozená přitlačením se k objektu manipulace. Tímto se vytlačí objem atmosférického vzduchu v přísavce, a následným zpětným pohybem se přísavka vrací do počáteční polohy a vytváří tímto podtlak. Tento způsob má své nevýhody. Jsou jimi např.: neschopnost řízení úchopné síly, nespolehlivost a závislost na rovinnosti a čistotě povrchu, nutnost použití odtrhovací síly buďto mechanickými prvky, jakými jsou dorazy, nebo vyhazovacími mechanismy. Proto se častěji používá přísavky aktivní, které jsou ovládaný řízeným vstupním signálem.

Aktivní podtlakové hlavice se v dnešní době nepoužívají jen u robotů a manipulátoru, ale bývají využity také na výrobních strojích jako upínací zařízení. První přísavky byly patentovány ve Spojených státech v letech 1866 a 1868. [1],[2],[3]



Obr. 1 Různé druhy přísavek [4]



### 1.1.1 Rozdělení přísavek podle tvaru

Podtlakové úchopné hlavice rozdělujeme podle tvaru do pěti skupin a každou tuto skupinu na tvary oválné, kruhové a jiné.

**Universální přísavky** – Jsou vhodné pro rovné nebo mírně zakřivené povrchy.



Obr. 2 Universální přísavka [5]

**Přísavky s vlnovcem** – Používají se pro vyrovnání výškových rozdílů – menší přesnost při manipulaci např. sáčky naplněné kapalinou, zmrazené potraviny atd.



Obr. 3 Přísavka s vlnovcem [6]

**Ploché přísavky** – Hodí se pro velké a těžké předměty s rovným povrchem a z pevného materiálu.



Obr. 4 Plochá přísavka [7]

**Ploché s opěrnými žebry** – Mají dobrou stabilitu. Při manipulaci zaručují velkou přesnost. Opěrná žebra zabraňují deformaci a prohnutí slabších materiálů (poddajné materiály: např. papír, folie atd.). Používají se také pro rovné povrchy s větší drsností, jako například dřevěné desky. [8]



Obr. 5 Plochá přísavka s opěrnými žebry [9]

**Konkávni přísavky** – Jsou vhodné pro nepravidelné nebo zakřivené povrchy. Mohou také uchopit předměty za hrany nebo rohy. Naopak nejsou vhodné pro rovné plochy.



Obr. 6 Konkávni přísavka [10]

### 1.1.2 Materiály přísavek

Důležitými parametry materiálů u přísavek jsou: teplotní rozsah použití, odolnost proti opotřebení a jiné. Můžou být vyrobeny z různých druhů materiálů například: nitrilový kaučuk (N), polyuretan (U), Silikon (S) a Fluórový kaučuk (F). Zároveň se stále vyvíjejí materiály nové, jakými jsou např: [8]

- **THERBAN<sup>®</sup>** – Je vhodný použít do vysokých teplot, jakými jsou aplikace vyjímání dílů ze vstřikovacích forem, nebo manipulace v proudu horké vody. Jsou také odolnější proti oleji než standartní guma.
- **Duraflex<sup>®</sup>** – Spojuje v sobě velmi vysokou mechanickou odolnost polyuretanu a také pružnost gumy. Některé přísavky z tohoto materiálu jsou vyrobeny ze dvou různých stupňů tvrdosti. Měkčí část zajišťuje dobrou přilnavost k povrchu a tvrdší dostatečnou tuhost a stabilitu. Dále je tento materiál vhodný pro mastné znečištěné povrchy, protože má 3-4 krát větší přilnavost (třecí/ smyková síla) než klasické materiály. [11]

### 1.1.3 Přípoje, ventily a příslušenství přísavek

- **Přípoje** – Nejčastěji jsou vyrobeny z hliníku nebo kompozitních plastů a můžou být opatřena sítkem, které zabraňuje vniknutí nečistot do vakuového obvodu. Připoj si lze vybrat ze širokého sortimentu s různými připojovacími závity jako můžeme vidět na Obr. 7.
- **Ventily** – Zabraňují nebo minimalizují unik vakua. Rozdělujeme je na dotykové ventily a zpětné škrťací ventily.



Obr. 7 Přípoje [8]

- **Pružné vyrovnávací upevnění** – Vyrovnává výškové rozdíly, tzn. přísavky není zapotřebí přesně výškově polohovat. Proto mohou být použity na pružné a nepřesné objekty manipulace. Tlumí také rázy.



Obr. 8 Pružné vyrovnávací upevnění [8]

- **Výkyvné upevnění** – Přizpůsobuje polohu přísavky úhlovým nerovnostem a také minimalizuje ohýbací síly. Příkladem použití je manipulace s vlnitými předměty.
- **Úhlové upevnění** – usnadňuje realizaci a montáž přívodu vakua.

## 1.2 Vakuové ejektory

„Vakuum (z lat. *vacuus*, prázdný) česky též *vzduchoprázdno* znamená prázdný prostor, ve fyzice prostor s velmi malou hustotou částic. V technické praxi se jím rozumí prostor, v němž je tlak plynu podstatně nižší než při normálním atmosférickém tlaku (podtlak). Škála kvality vakua má velmi rozmanité technické využití ve vakuové technice.“ [12]

Vakuum můžeme dle Tab. 1 rozdělit do tří skupin: [15]

Tab. 1 Rozdělení vakua

Druh vakua	Úroveň vakua	Oblast použití
Dmychadlové vakuum	0 až -20 kPa	Pro ventilaci, chlazení, odsávání, ...
Průmyslové vakuum	-20 až -99 kPa	Pro manipulaci, automatizaci, přidržování, ...
Procesové vakuum	-99 kPa a více	Vysoké vakuum pro laboratoře, výrobu mikroprocesorů, pokovování, ...

### 1.2.1 Zdroje vakua

Pro vytvoření vakua se využívá více druhů zdrojů. Kvalitní vakuum dodávají objemové vývěvy, které jsou různými typy pístových, lamelových a membránových čerpadel. Z důvodu vysokých nákladů a složitosti technického řešení se v robotice používají jen ojediněle. Většinou jsou zdrojem vakua proudové ejektorové vývěvy. [1],[2]

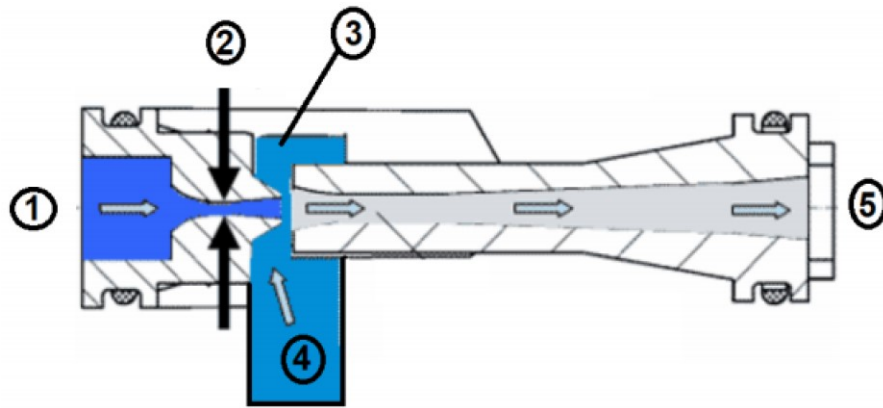
Ejektory pracují na principu Venturiho trubice, do které přivádíme stlačený vzduch, jako zdroj energie. Ejektory dělíme podle počtu těchto trubic na jednostupňové a vícestupňové.

#### Výhody ejektorů oproti mechanickým vývěvám:

- jsou bezúdržbové
- při práci se neopotřebovávají a nezahřívají
- nevznikají vibrace
- mají menší hmotnost a rozměry
- možnost připojení přímo na přísavku
- smí se použitím do výbušného prostředí [13],[14]

### 1.2.2 Jednostupňový ejektor

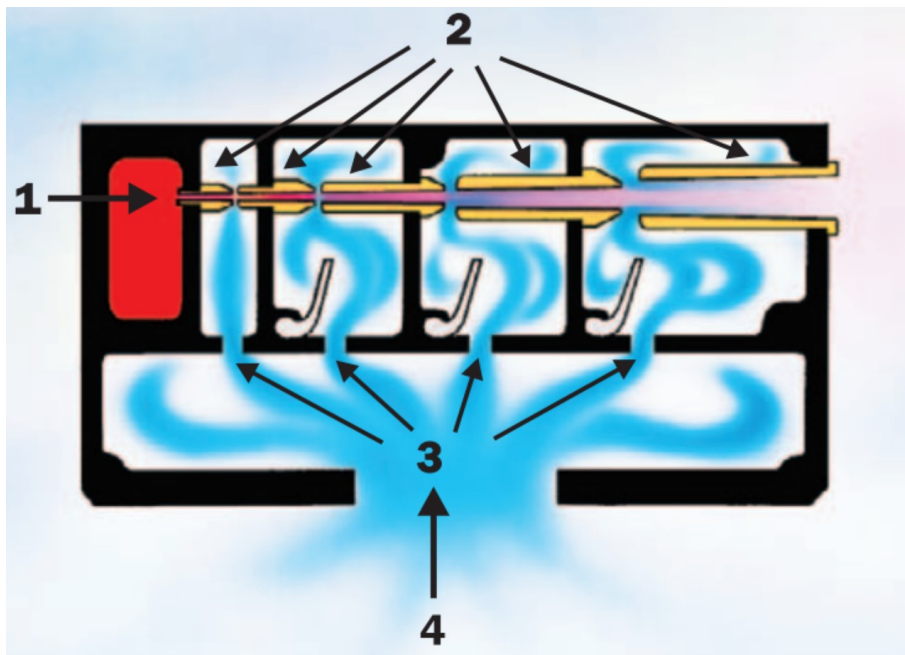
Na Obr. 9 je znázorněn jednostupňový ejektor. Zdroj energie, stlačený vzduch je přiveden to vstupního hrdla ejektoru (1). Dále je stlačený vzduch veden přes zúženou část trysky (2), kde se zvyšuje rychlost a následně v prostoru (3) jsou strhávány částice vzduchu. Tím pádem se zde snižuje tlak, vzniká podtlak a z prostoru (4) se přísává vzduch. Výstup do atmosféry může být proveden přes potrubí nebo tlumiče vzduchu (5). Důležité je, aby výfuk vzduchu nevytvářel protitlak a tím nesnižoval vytvořený podtlak.[14]



Obr. 9 Jednostupňový ejektor [14]

### 1.2.3 Vícetupňový ejektor

Vyznačuje se mnohem lepším využitím stlačeného vzduchu a taky mnohem nižší spotřebou energie než jednostupňový ejektor. Má také výhodu v tom, že se dá využít pro výrobu hlubokého vakua při velkém objemovém průtoku. U jednostupňových ejektorů tato vlastnost není možná. Na Obr. 10 je zobrazeno schéma vícetupňového ejektoru. Funguje na podobném principu jako jednostupňový ejektor. Na vstupu (1) se nachází stlačený vzduch a proudí tryskami řazenými za sebou (2) a tím jsou strhávány částice vzduchu z jednotlivých komor, které mají uzavírací klapky. Klapky se zavírají postupně s rostoucím podtlakem a po dosažení maximální úrovně vakua v prostoru (4) je otevřena pouze první komora.[15]



Obr. 10 Vícetupňový ejektor [15]

---

## 2 Požadavkový list

- Cena: max 100 000CZK
- Hmotnost: max 50Kg
- Robot: ABB IRB 460 IRC5
- Rozsah pracovní teploty: 5 C ° – 50 °C
- Objekty manipulace:
  1. Kartonové krabice o rozměrech 384x376x185 mm a o hmotnosti 25 kg
  2. Kartonové krabice o rozměrech 384x188x185 mm a o hmotnosti 13 kg
  3. Kartonové proklady o rozměrech 1160x790x2 mm
- Materiál objektů manipulace:

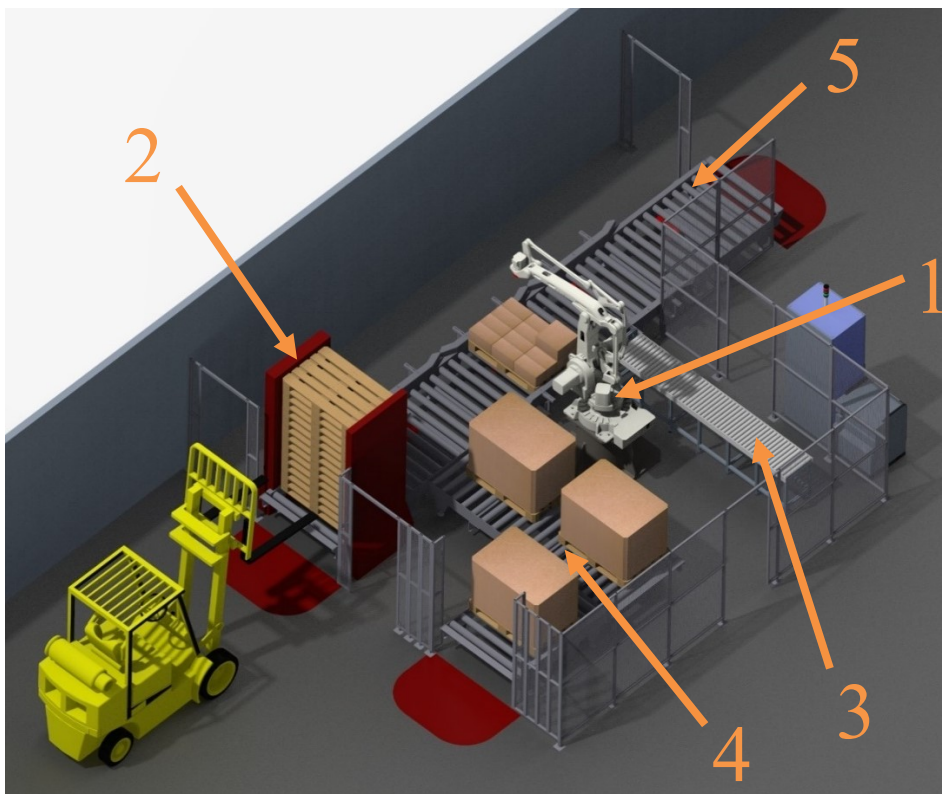
Krabice – pětivrstvý zpevněný karton oblepený páskou

Proklad-třívrstvý karton o tloušťce 2 mm
- Paletizace na Europaletu (EPAL 1200x800mm) – nosnost 2 t
- Pro uchopování použít stlačený vzduch z centrálního rozvodu haly o maximálním tlaku 0,7 MPa
- Zajistit čistý vzduch – (filtr 40 $\mu$ m, vlhkost – maximální rosný bod 7 °C) dle DIN ISO 8573-1

## 2.1 Popis pracoviště

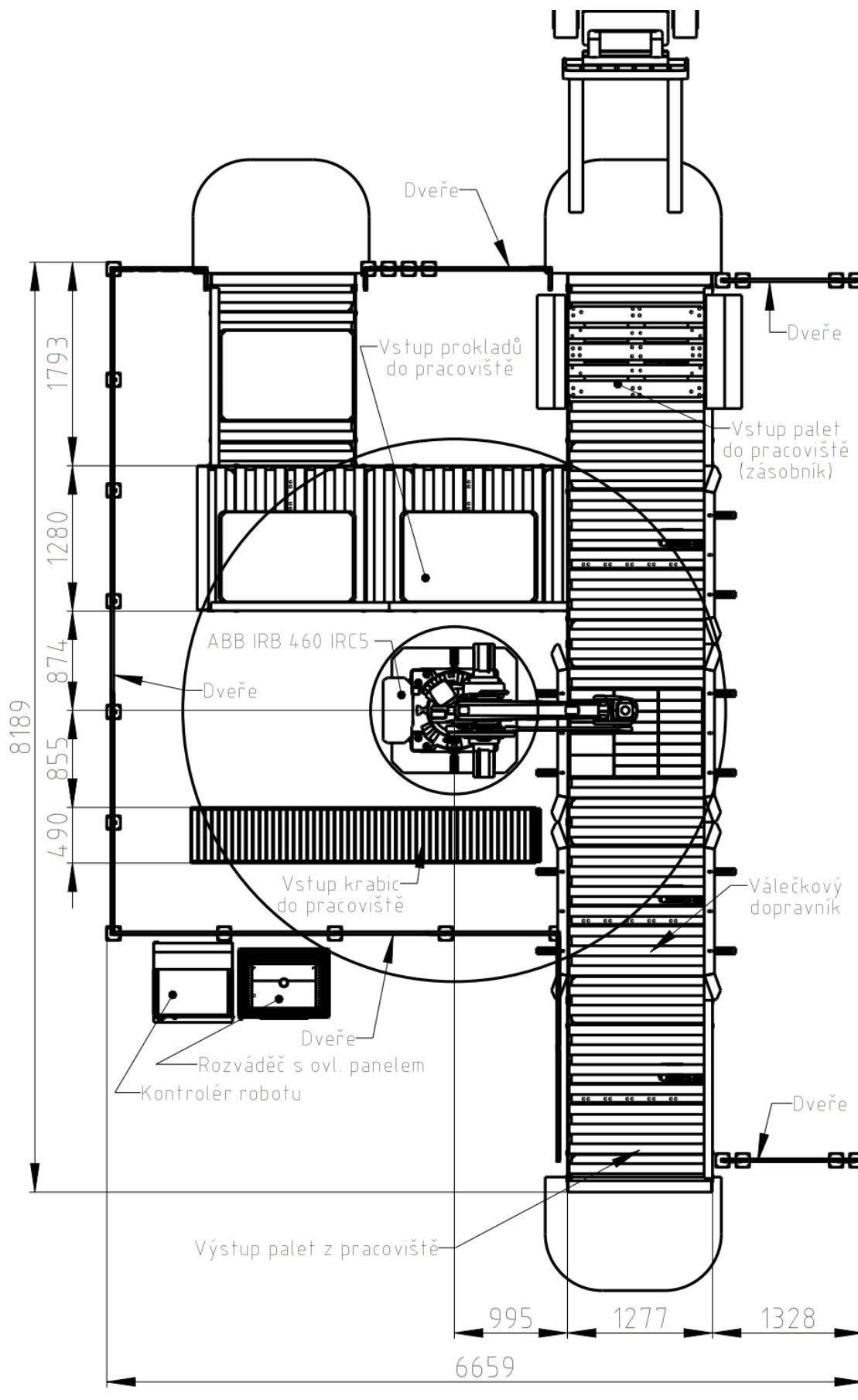
Dalším požadavkem bylo použití navrhovaného efektoru do daného pracoviště. To znamená, musel být brán v úvahu pracovní prostor robotu a rozmístění prvků, jako jsou objekty manipulace a polohy Europalet, viz Obr. 12 layout pracoviště. Jedná se o plně automatizovanou paletizační linku (Obr. 11), která se skládá ze, tři dopravníků, paletizačního robotu ABB IRB 460 IRC5 (1) a zásobníků na Europalety (2). Po prvním dopravníku (3) jsou dopravovány dva druhy krabic o hmotnosti 13 a 25 kg. Na druhém (4) jsou připraveny tři palety plně naložených prokladů (600 ks), a na třetím dopravníku (5) jsou přepravovány jak prázdné palety, které jsou automaticky podávány ze zásobníku, tak paletizované palety. Po paletizování by mělo následovat ovinování. Tato část ale již není součástí zadaného pracoviště. Celá linka je oplocená. Jediným úkol, který bude provádět pracovník je navážení a odvážení Europalet.

Pracovní cyklus je následující. Na prázdnou paletu na dopravníku (5) se položí kartonový proklad, následně se paletizuje 6 ks 25 kg krabic. Další vrstvu proložíme prokladem a robot uloží 12 ks 13 kg krabic. Tento postup robot opakuje až do doby, než výška nedosáhne 2 metrů.



Obr. 11 Zadané pracoviště





Obr. 12 Layout pracoviště

## 2.2 Popis robotu

ABB IRB 460 IRC5 (Obr. 13) je vysokorychlostní paletizátor s nosností 110 kg. Jedná se o čtyřosého robota, s rozsahem 2,4m a s opakovatelnou přesností 0,2mm. Rychlost v jednotlivých osách je od 110 do 400 °/s. [28]



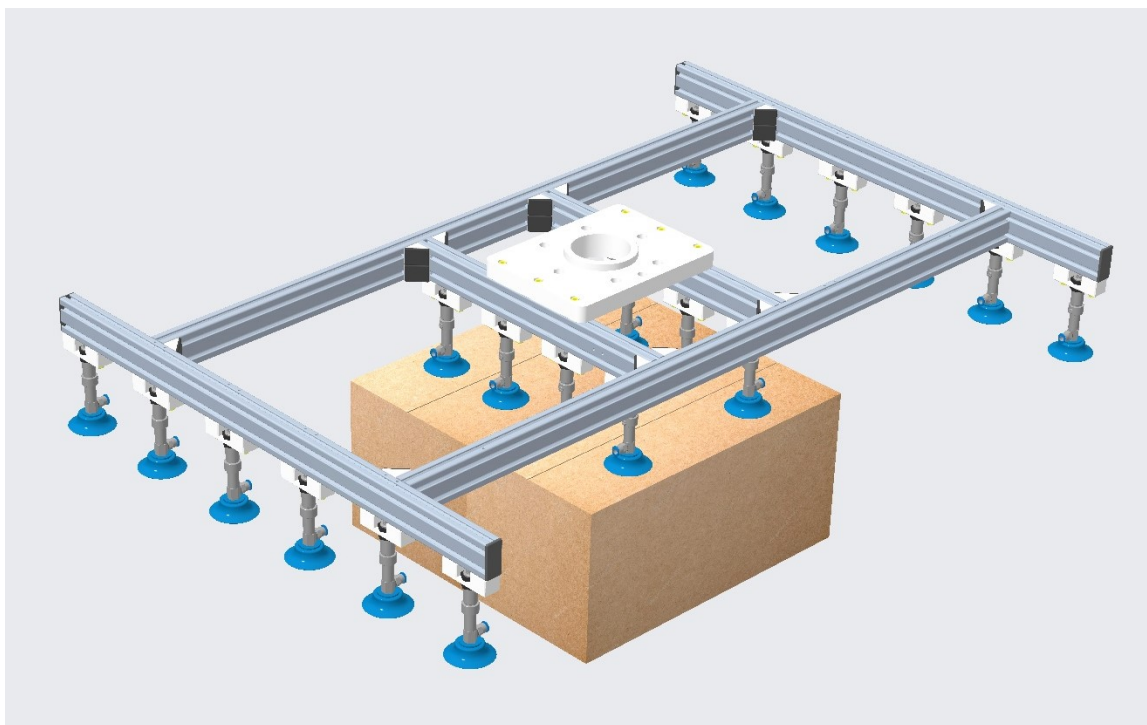
Obr. 13 Robot ABB IRB 460 IRC5 [28]

### 3 Varianty řešení

Na základě požadavkového listu a poznatků z rešerše byly vypracované následující tři předběžné varianty řešení. Navržený efektor bude přizpůsoben všem OM a pro úsporu času budou 13 kg krabice přepravovány po dvou.

#### 3.1 Varianta A

Základní rám je tvořen z hliníkových profilů od firmy ITEM [16] (profil 5, 40x20 mm, natural). Tyto profily jsou spolu sešroubovány pomocí úhelníku, vždy dvěma kusy nad sebou. Robot bude uchycen s tímto efektozem přírubou vyfrézovanou z hliníku, která bude spojena s rámem pomocí drážkových matic. Počet přísavek byl odhadnut na 20 ks - 8 ks je použito pro přepravu krabic a zbyvajících na kartonový proklad, což je zřejmé z Obr. 14. Tyto přísavky jsou spojeny s hliníkovým dílcem pomocí dvou kontramatic, a tyto dílce k rámu pomocí drážkových matic viz Obr. 15.



Obr. 14 Varianta A

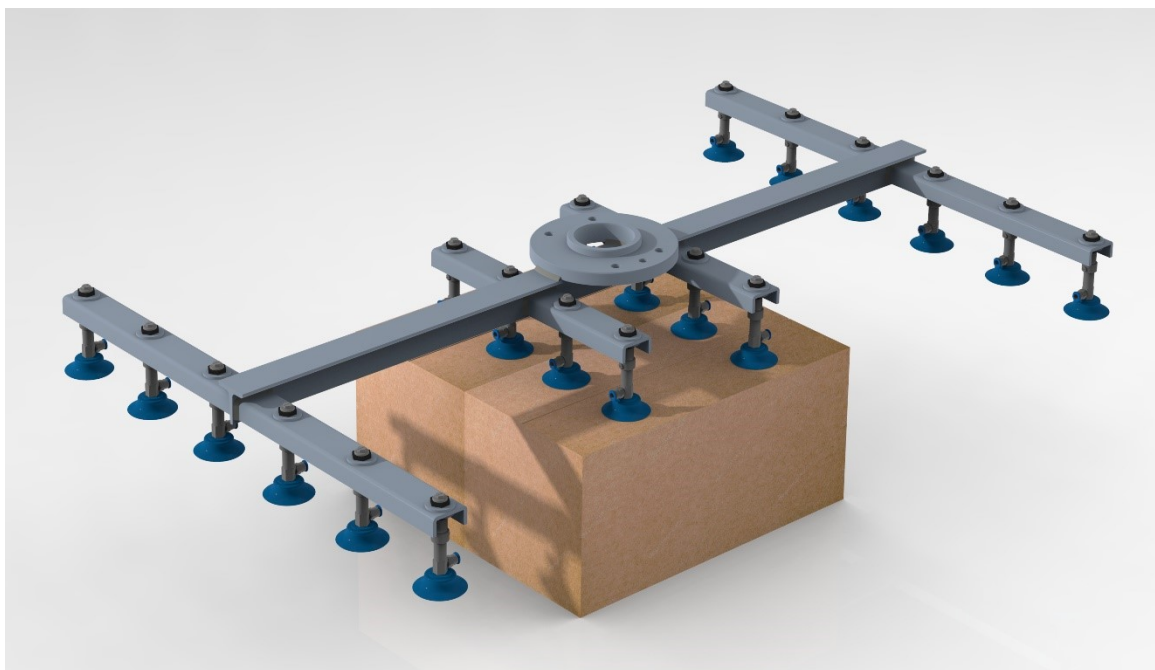
Celková hmotnost této konstrukce je 8,5 kg a cena 46 830 CZK. Výhoda tohoto návrhu je jednoduchost sestavení a možnost jednoduchého přestavení polohy přísavek.



Obr. 15 Uchycení přísavky

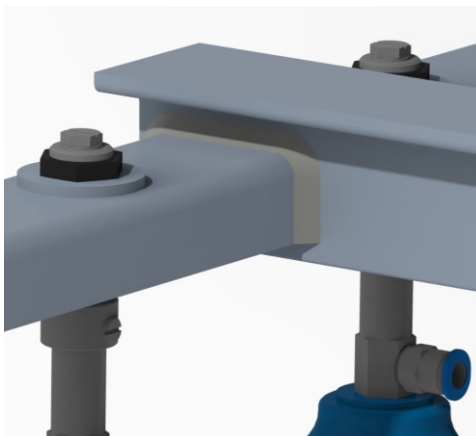
### 3.2 Varianta B

Rám je tvořen svařovanou konstrukcí. Základním nosným prvkem je ocelový T profil (40x40 mm) délky 970 mm. Tento nosník je svařen s 8 ks U profilů (40x20 mm), ve kterých jsou navrtány díry pro uchycení přísavek. Na Obr. 17 můžeme vidět koutový obvodový svar ( $a=3$  mm), vyráběný obloukovým svařováním v ochranné atmosféře metodou MIG. Příruba je vyrobená s oceli, soustružením a je spojena s nosníkem taktéž svařováním viz Obr. 16.



Obr. 16 Varianta B

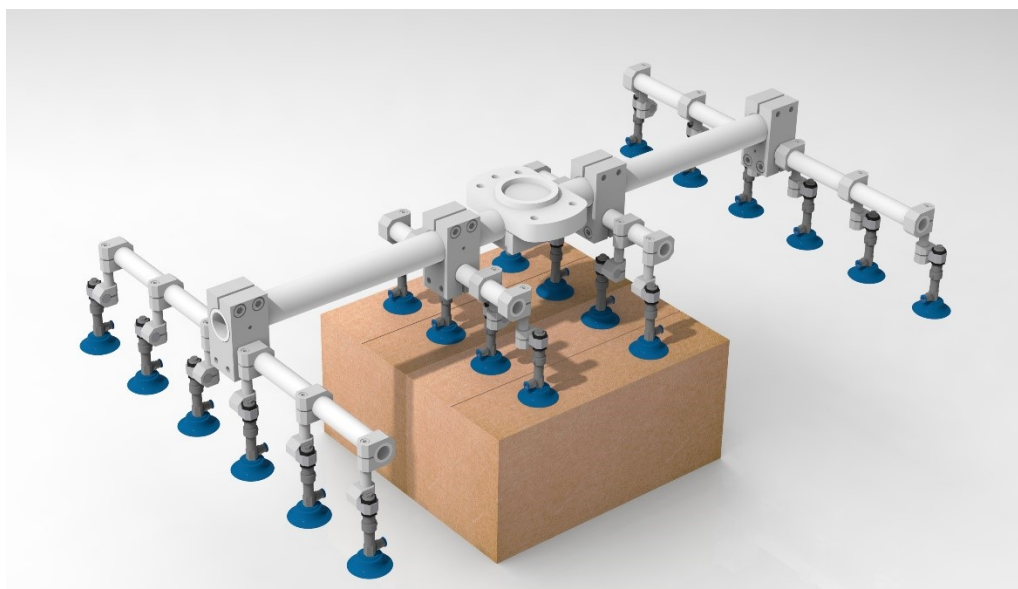
Celková hmotnost této konstrukce je 11 kg a cena 42 460 CZK. Tento návrh již není na výrobu tak jednoduchý. Nevýhodou je také nemožnost přestavení přísavek.



Obr. 17 Koutový svar

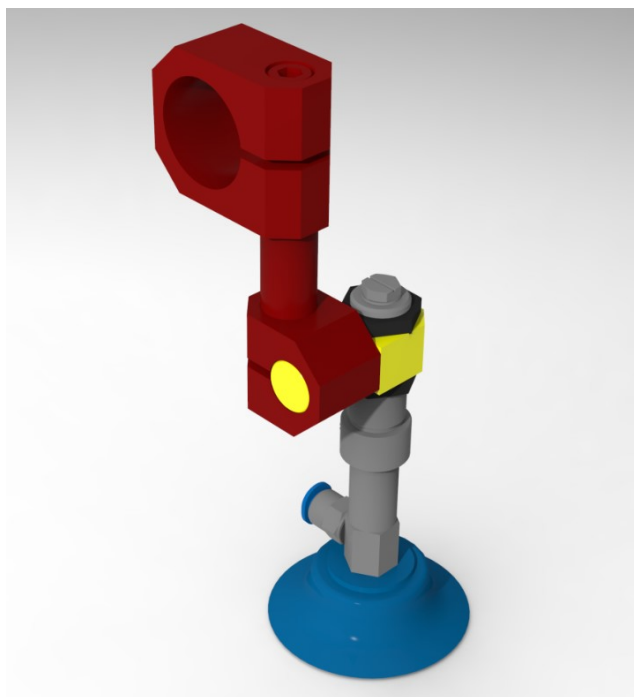
### 3.3 Varianta C

Základní prvky tvoří hliníkové trubky (40x4, 25x4 mm) a svěrné spoje od firmy DESTACO [17]. Tyto spoje používají pro vyvození svěrné síly imbusové šrouby. Na Obr. 19 můžeme vidět uchycení přísavky, skládající se ze dvou komponentů. Na prvním dílci (žlutý) je přichycena přísavka stejně jako u předchozích případů – kontramaticí. Druhý dílec (červený) spojuje trubku s dílcem přísavky. Příruba je vyrobena taktéž jako svěrný spoj.



Obr. 18 Varianta C

Celková hmotnost této konstrukce (Obr. 18) je 9,4 kg a cena 79 300 CZK. Výhoda této varianty je možnost přestavení přísavek ve více směrech a také jednoduché sestavení.



Obr. 19 Uchycení přísavky

## 4 Výběr optimální varianty

Pro výběr optimální varianty jsem použil vícekriteriální analýzu.

### 4.1 Kritéria hodnocení

V Tab. 2 jsou vypsány kritéria hodnocení.

Tab. 2 Kritéria hodnocení

Hodnocená kritéria	Název
K1	Cena
K2	Hmotnost efektoru
K3	Počet stupňů volnosti přísavek
K4	Náročnost výroby
K5	Složitost přestavení přísavek
K6	Tuhost konstrukce

**Cena** – měla by být co nejmenší, a neměla by přesáhnout cenu v požadavkovém listu

**Hmotnost efektoru** – měla by být co nejmenší, a součet hmotnosti OM a efektorů nesmí přesáhnout nosnost robotu

**Počet stupňů volnosti přísavek** – možnost změny polohy přísavek

**Náročnost výroby** – složitost výroby a montáže

**Složitost přestavení přísavek** – jednoduchost změny polohy přísavek

**Tuhost konstrukce** – maximální dovolený průhyb:  $W_{\max}=1$  mm

### 4.2 Významnost kritérií

Tab. 3 Významnost kritérií

Číselná hodnota	Významnost
2	Nejvyšší
...	...
1	Nejnižší

### 4.3 Stupnice hodnocení

V Tab. 4 je uvedený číselný význam hodnocení.

Tab. 4 Hodnoty kritérií

Hodnoty kritérií	
Hodnocení	Význam hodnocení
1	Vysoká úroveň
2	Dobrá úroveň
3	Průměrná úroveň
4	Nízká úroveň
5	Nevyhovující úroveň
6	Nepříznivý stav

### 4.4 Hodnocení variant

Všechny varianty řešení byly hodnoceny dle Tab. 5, ve které jsou uvedené jednotlivé parametry a vlastnosti jednotlivých návrhů.

Tab. 5 Parametry a vlastnosti návrhu

Kritéria	Varianta A	Varianta B	Varianta C
Cena	46 830,-kč	42 460,-kč	79 300,-kč
Hmotnost efektoru	8,5 kg	11 kg	9,4 kg
Počet stupňů volnosti přísavek	1	0	2
Náročnost výroby	Jednoduchá	Složitější	Jednoduchá
Složitost přestavení přísavek	Jednoduchá	-	Jednoduchá
Tuhost konstrukce	Vysoká	Dostačující	Dostačující

Varianty byly hodnoceny autorem práce a jedním posuzovatelem. V Tab. 6 a Tab. 7 jsou již uvedena jednotlivá bodová hodnocení.

Tab. 6 Hodnocení navržených variant – autor

Kritéria	Varianta A	Varianta B	Varianta C
Cena	2	1	5
Hmotnost efektoru	2	4	3
Počet stupňů volnosti přísavek	3	6	2
Náročnost výroby	1	5	2
Složitost přestavení přísavek	2	6	2
Tuhost konstrukce	2	3	3



Tab. 7 Hodnocení navržených variant – posuzovatel

Kritéria	Varianta A	Varianta B	Varianta C
Cena	3	1	5
Hmotnost efektoru	1	3	2
Počet stupňů volnosti přísavek	3	4	1
Náročnost výroby	2	3	4
Složitost přestavení přísavek	1	6	2
Tuhost konstrukce	4	1	3

Průměrné hodnoty hodnocení navržených variant jsou v Tab. 8.

Tab. 8 Průměrné hodnocení

Kritéria	Varianta A	Varianta B	Varianta C
Cena	2,5	1	5
Hmotnost efektoru	1,5	3,5	2,5
Počet stupňů volnosti přísavek	3	5	1,5
Náročnost výroby	1,5	4	3
Složitost přestavení přísavek	1,5	6	2
Tuhost konstrukce	3	2	3

#### 4.5 Určení významnosti

V Tab. 9 a Tab. 10 byly porovnány mezi sebou jednotlivá kritéria hodnocení.

Tab. 9 Porovnání jednotlivých kritérií hodnocení – autor

Porovnávané páry					Počet voleb
K1	K1	K1	K1	K1	5
K2	K3	K4	K5	K6	
	K2	K2	K2	K2	2,5
	K3	K4	K5	K6	
		K3	K3	K3	2,5
		K4	K5	K6	
			K4	K4	1,5
			K5	K6	
				K5	2
				K6	1,5

Tab. 10 Porovnání jednotlivých kritérií hodnocení – posuzovatel

Porovnávané páry					Počet voleb
K1	K1	K1	K1	K1	5
K2	K3	K4	K5	K6	
	K2	K2	K2	K2	0
	K3	K4	K5	K6	
		K3	K3	K3	3
		K4	K5	K6	
			K4	K4	2
			K5	K6	
				K5	1,5
				K6	3,5

Průměrný počet voleb jednotlivých kritérií je uveden v Tab. 11

Tab. 11 Průměrný počet voleb pro jednotlivá kritéria a určení váhy významnosti

Hodnocená kritéria	Průměrný počet voleb	Pořadí	Významnost
<b>K1</b>	5	1	2,00
<b>K2</b>	1,25	6	1,00
<b>K3</b>	2,75	2	1,40
<b>K4</b>	1,75	4-5	1,13
<b>K5</b>	1,75	4-5	1,13
<b>K6</b>	2,5	3	1,33

### Závislost váhy významnosti na počtu voleb

Váha významnosti je lineárně závislá na počtu voleb a může být popsána lineární rovnicí, jejíž základní tvar je:

$$q = k \cdot v + b \quad (1)$$

Kde:  $q$  – váha významnosti,  $k$  – směrnice přímky,  $v$  – počet voleb,  $b$  – posunutí přímky.

Váhu významnosti vypočteme dle rovnice (1) tak že si sestavíme dvě rovnice o dvou neznámých.

Do první rovnice dosadíme  $q=1$  -nejmenší váha významnosti,  $v=1,25$  - nejmenší počet voleb.

$$1 = k \cdot 1,25 + b \quad (2)$$

A naopak do druhé rovnice  $q=2$  - největší váha významnosti,  $v=5$  - největší počet voleb.

$$2 = k \cdot 5 + b \quad (3)$$

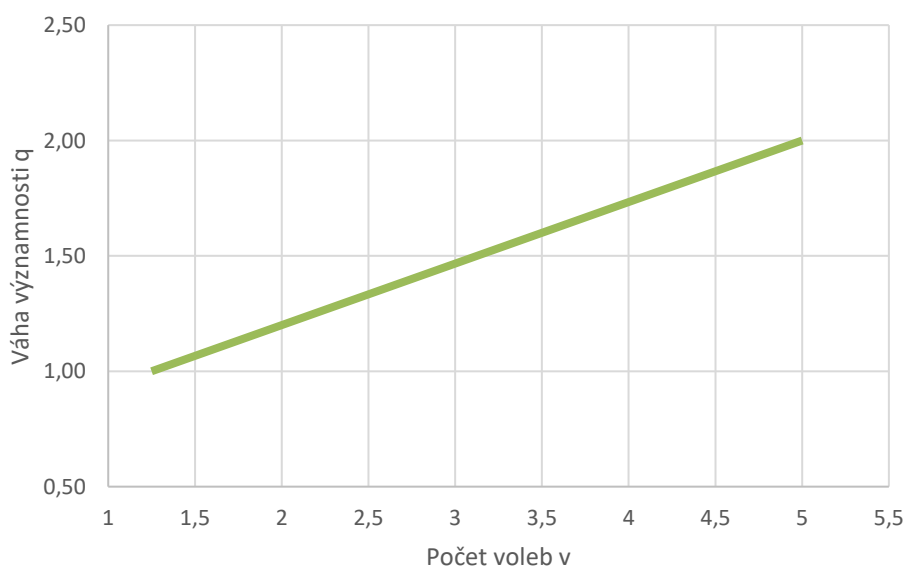
Z těchto rovnic vypočteme koeficienty  $b$  a  $k$ .

$$b = 2/3$$

$$k = 4/15$$

Pomocí těchto koeficientů určíme vztah pro závislost váhy významnosti na počtu voleb, kterou popisuje lineární rovnice (4) - její průběh je znázorněn na Obr. 20

$$q = 4/15 \cdot v + 2/3 \quad (4)$$



Obr. 20 Závislost váhy významnosti na počtu voleb

## 4.6 Určení vážených indexů pro jednotlivá kritéria

Vážený index se vypočte jako součin průměrného hodnocení a váhy významnosti.

Tab. 12 Vypočtené vážené indexy

Kritéria	Varianta A	Varianta B	Varianta C
Cena	5,00	2,00	10,00
Hmotnost efektoru	1,50	3,50	2,50
Počet stupňů volnosti přísavek	4,20	7,00	2,10
Náročnost výroby	1,70	4,53	3,40
Složitost přestavení přísavek	1,70	6,80	2,27
Tuhost konstrukce	4,00	2,67	4,00
$\Sigma$	<b>18,10</b>	<b>26,50</b>	<b>24,27</b>

Z výsledků kritériální analýzy vyplývá, že varianta s nejmenším váženým indexem je varianta optimální.

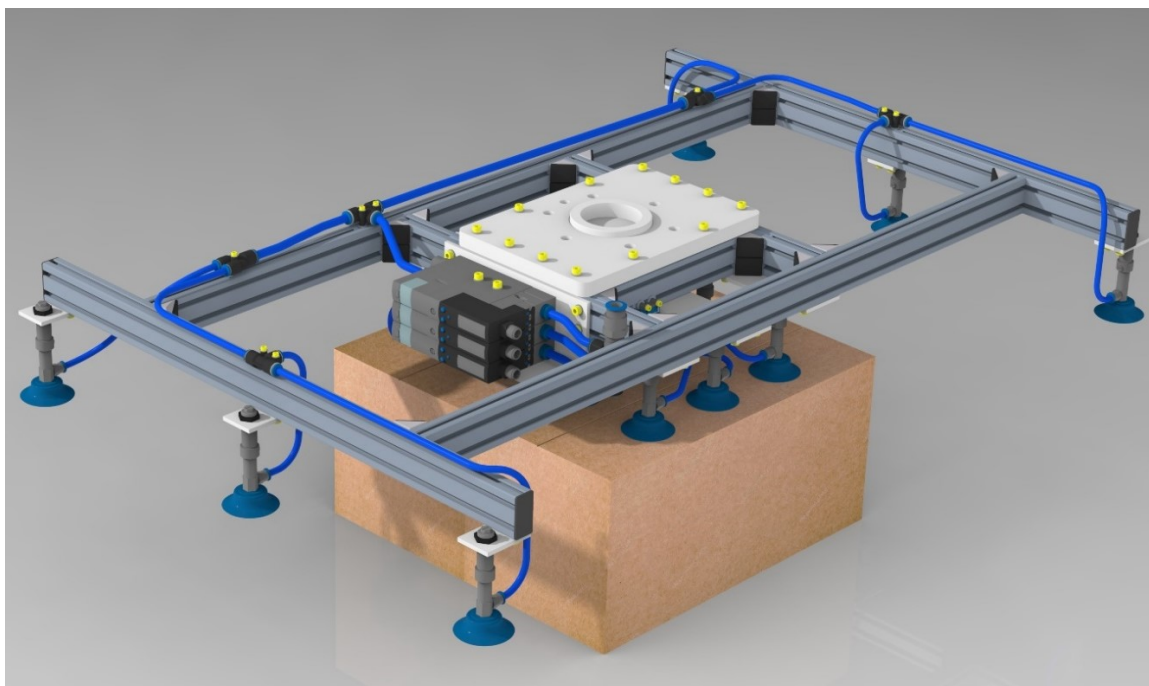
Tab. 13 Konečné pořadí

Pořadí	Varianta	Součet indexů
<b>1</b>	<b>Varianta A</b>	<b>18,10</b>
<b>2</b>	Varianta C	24,27
<b>3</b>	Varianta B	26,50

Z Tab. 13 je patrné že optimální řešení je varianta A.

## 5 Optimální varianta

V kapitole 5 byla vybrána varianta A jako nejvhodnější řešení. Z tohoto návrhu jsem vypracoval variantu konečnou (Obr. 21). V této kapitole je popsáno celé konstrukční řešení se všemi potřebnými prvky a také výpočty.

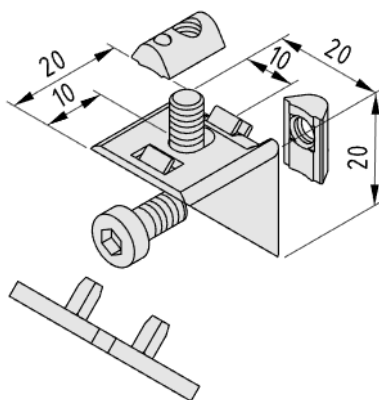


Obr. 21 Optimální varianta ve finální podobě se všemi potřebnými prvky

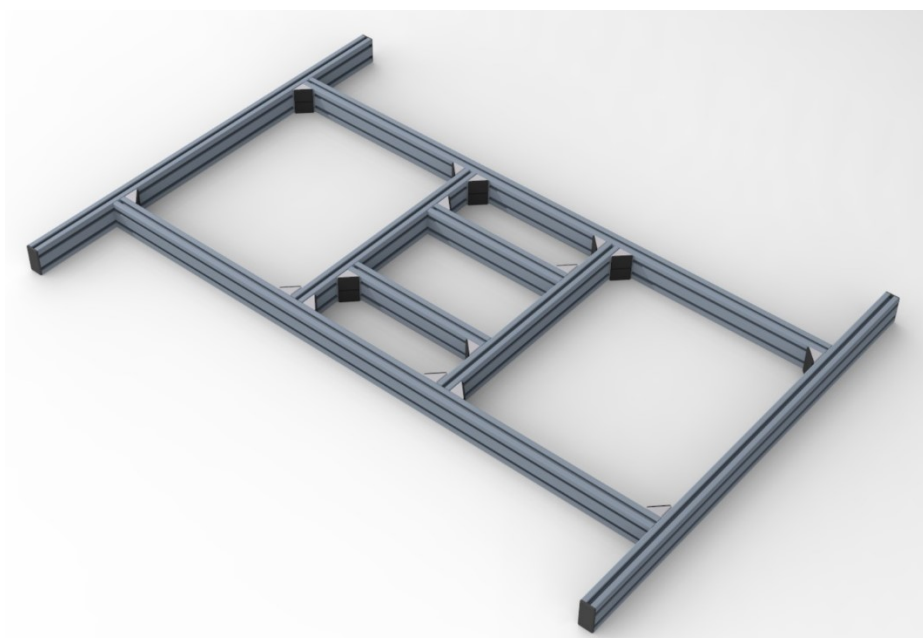
### 5.1 Konstrukce

#### 5.1.1 Rám

Hlavní část konstrukce tvoří rám z hliníkových profilů. Tyto profily vyrábí firma ITEM [16] v pěti velikostních řadách s různými rozměry. Výhoda těchto profilů je nízká hmotnost a zároveň poměrně vysoký průřezový modul v ohybu. V tomto řešení byla použita řada 5 s rozměry 40x20 mm s drážkami po všech stranách v provedení NATURAL. Spojení je realizováno pomocí úhelníků, vždy dvou nad sebou, které nesvírají uhel 90°, ale o něco menší. Tato vlastnost se používá k vyvození předpětí a zvýšení tuhostí. Proto nejsou tyto úhelníky použity ve všech rozích. Skládají se ze dvou šroubů M5x8, drážkových matic, ocelového úhelníku a plastové krytky viz. Obr. 22. Utahovací moment u šroubů je předepsaný na 4,5 Nm. Celý rám (Obr. 23) má rozměry 890x630x40 mm a hmotnost 4,5 kg. Čtyři vnější konce profilů jsou opatřeny plastovými krytkami.



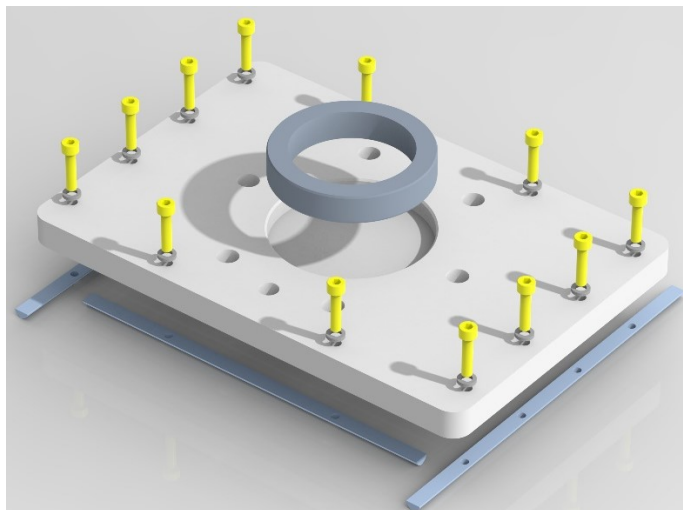
Obr. 22 Úhelník [18]



Obr. 23 Rám

### 5.1.2 Interface

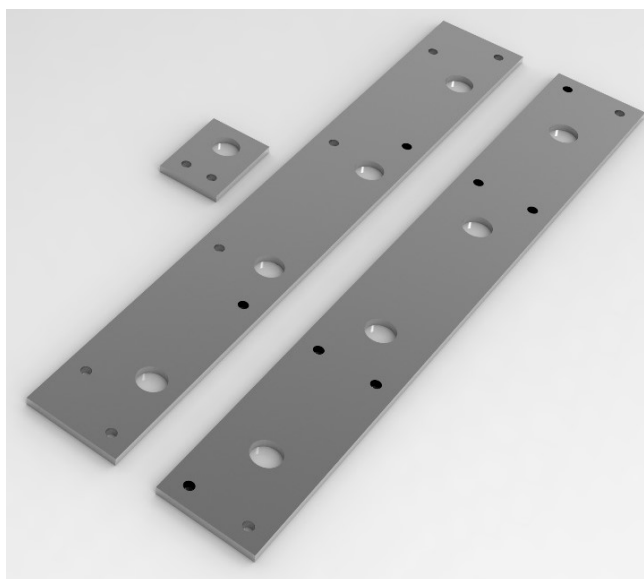
Interface o rozměrech 254x172x15 mm je vyroben z hliníku (EN AW-6061). Polotovár je vyřezán z desky vodním paprskem a následně dokončen, broušením, frézováním a vrtáním. Funkce má dvojí. Jednak přichycení efektoru k robotu, tak také vyztužení rámu. Pro přichycení k hliníkovým profilům byly použity lišty (profil 5, ITEM [16]), 12 ks šroubů M5 a podložky Nord-Lock, které zajišťují spoj proti povolení, při dynamickém zatěžování viz Obr. 24. Připojovací rozměry k robotu byly zjištěny z katalogového listu [19]. Toto spojení je vytvořeno jedním středícím kolíkem (průměru 10 mm) a 6ks šroubů M10 tř. pevnosti 12.9, které jsou na roztečném průměru 125 mm. Pro vystředění se použije ocelový prstenec konzervovaný olejem.



Obr. 24 Interface s prstencem-rozložený pohled

### 5.1.3 Uchycení přísavek

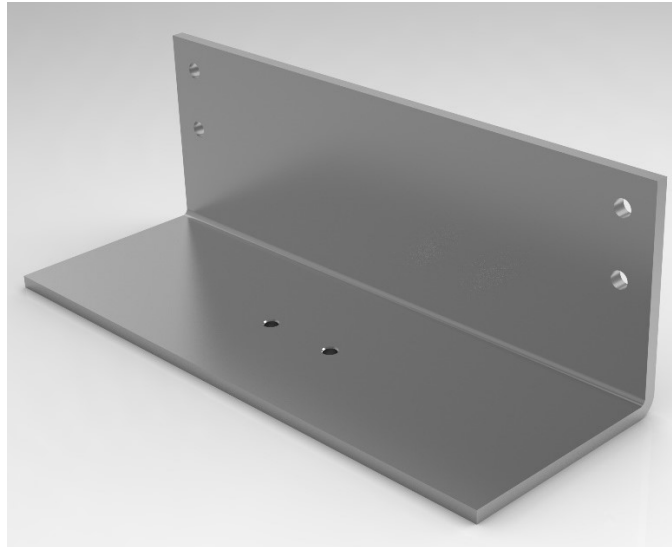
Uchycení přísavek je provedeno pomocí korozivzdorných plechů. Pro šest vnějších přísavek byl použit plech o rozměrech 50x35x4 mm. U přísavek vnitřních byly použity pásy plechů o rozměrech 375x50x4 mm. Tyto dílce (Obr. 25) jsou spojeny s rámem šrouby M5 a drážkovými maticemi.



Obr. 25 Dílce pro uchycení přísavek

### 5.1.4 Uchycení ejektorů

Držák (Obr. 26) je vyroben z ohýbaného nerezového plechu tloušťky 4 mm. Uchycení k rámu je realizováno stejným způsobem jako u držáků přísavek.



Obr. 26 Držák ejektorů

## 5.2 Pneumatické prvky

Všechny pneumatické prvky byly vybrány od firmy Festo [20].

### 5.2.1 Ejektor

Ejektor Ovem je vybrán z více důvodů. Prvním z nich je možnost regulace úrovně vakua. Tato vlastnost je výhodná s ohledem na přepravované objekty manipulace. Při přepravě krabic a kartonových prokladů se stejnou úrovní vakua, by totiž mohlo dojít k protržení prokladů.

Další výhody jsou:

- Rychlá a spolehlivá instalace díky šroubení QS
- Integrovaný filtr a tlumič hluku
- Zamezení poklesu tlaku – vestavěný zpětný ventil
- Možnost sledování úrovně vakua na displeji
- Možnost regulace vyfukovacího impulsu
- Integrovaný elektromagnetický ventil
- Vše je zabudované do kompaktní jednotky

Uvažováno bylo také použití inline ejektory, ale z důvodu výše zmíněných vlastností a výhod, je volen ejektor OVEM, který je zobrazen na Obr. 27.





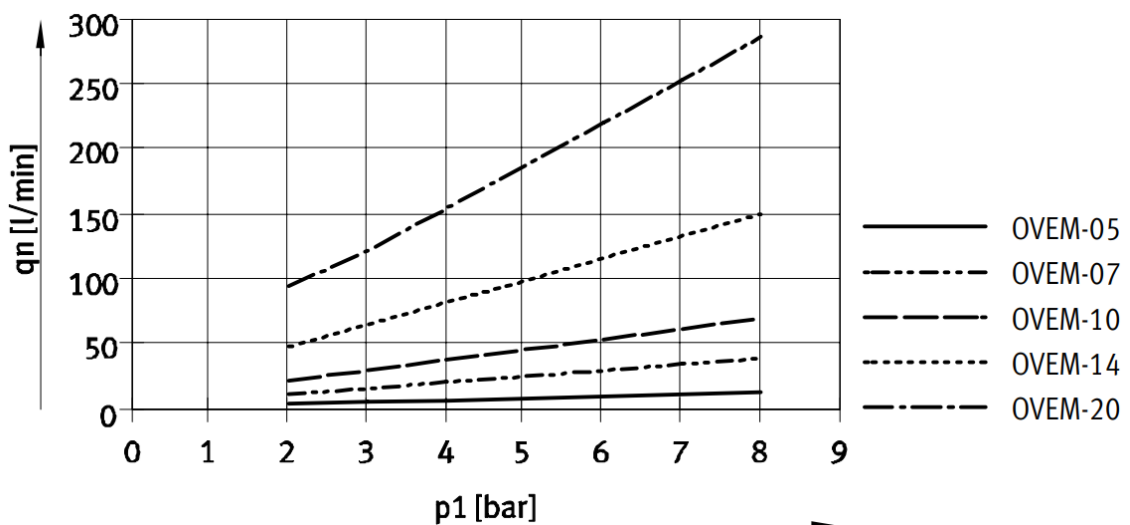
Obr. 27 Ejektor OVEM [21]

Tyto ejektory se dělí na dva druhy:

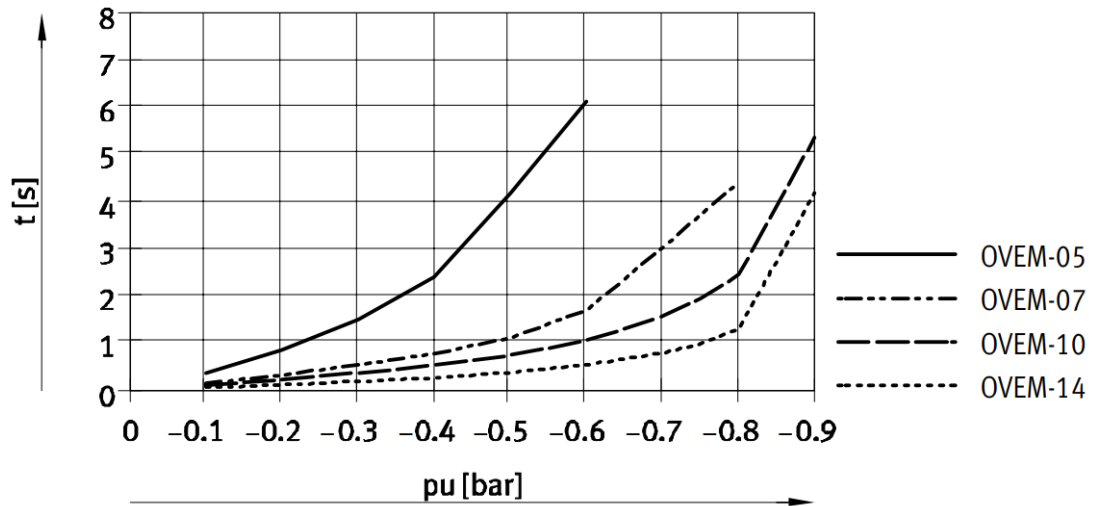
- pro hluboké vakuum
- pro velký průtok sání

Byl zvolený velký průtok sání, z důvodu kratšího času odsání vzduchu z hadic a z prostorů přísavek. Další volbou byla světlost Lavalovy trysky. Na Obr. 29 je zobrazen graf závislosti času odsání jednoho litru vzduchu na úrovni vakua (při provozním tlaku 6 bar) a na Obr. 28 graf závislosti spotřeby vzduchu na provozním tlaku. Grafy ukazují různé průběhy dle světlosti trysky (0,5-2,0 mm). Jelikož stlačený vzduch je řádově 10krát dražší než elektrická energie [22], musí se brát v úvahu spotřeba. Provozní tlak z centrálních rozvodů v hale je 7 bar. Z grafů je zřejmé, že čím větší je světlost trysky, tím narůstá spotřeba (Obr. 28), ale také že čím větší je světlost trysky tím je čas na odsání kratší (Obr. 29).

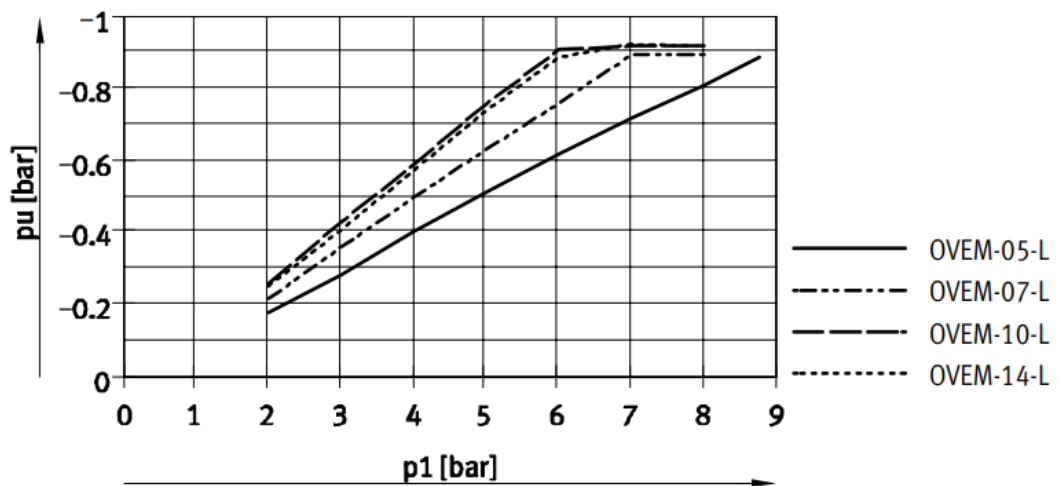
Volím proto kompromis – trysku světlosti 1,0 mm (OVEM-10).



Obr. 28 Graf závislosti spotřeby stlačeného vzduchu na provozním tlaku [23]



Obr. 29 Graf závislosti času odsátí 1 litru vzduchu na úrovni vakua při provozním tlaku 6 bar [23]



Obr. 30 Graf závislosti úrovně vakua na provozním tlaku [23]

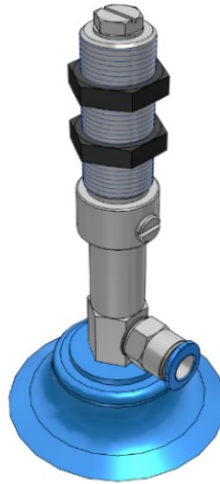
Celkem budou použity tři tyty ejektory viz kapitola 5.4 a budou spojené s držákem dvěma šrouby M5x70. Z Obr. 30 je patrné, že maximální vyvozené vakuum je  $-p_{\text{umax}}=0,91$  bar. Vlastnosti a parametry konkrétního vybraného ejektoru jsou uvedeny v Tab. 14.

Tab. 14 Vlastnosti a parametry ejektoru OVEM-10-L-B-QO-CE-N-LK [23]

<b>Charakteristika ejektoru</b>	velký objem sání
<b>Jmenovitá světlost Lavalovy trysky</b>	0,95 mm
<b>Připojení pro stlačený vzduch a vakuum</b>	nástrčné připojení QS-8
<b>Integrovaná funkce:</b>	vyfukovací impuls, elektricky škrťací ventil elektrický spínací ventil filtr elektrická funkce úspora vzduchu zpětný ventil otevřený tlumič hluku vakuový spínač
<b>Funkce ventilu</b>	bez proudu uzavřeno
<b>Jemnost filtrace</b>	40 μm
<b>Vakuové čidlo</b>	IO-Link
<b>Indikace stavu</b>	displej
<b>Jednotka zobrazení vakua</b>	[bar]
<b>Elektrická přípojka</b>	konektor M12x1 (5 pinů)
<b>Spínací logika vstupů</b>	PNP (spíná plus)
<b>Stupeň krytí</b>	IP65

### 5.2.2 Přísavky

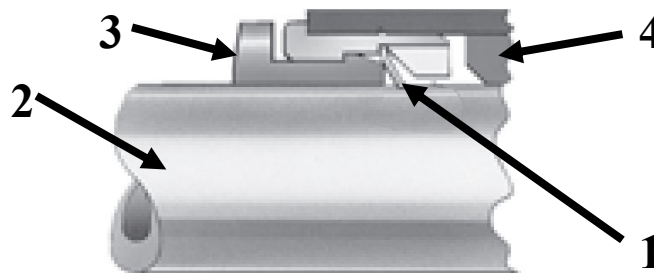
Je zvolena universální plochá přísavka z materiálu polyuretan (Obr. 31). Tento materiál je odolný proti opotřebení a také vhodný jak pro hrubé, tak hladké povrchy. Dále bylo zvoleno odpružení 20 mm pro vyrovnání nerovnosti krabic a kartonových prokladů. Velikost byla odhadnuta na průměr 50 mm, viz kapitola 5.4. Připojení vakua je uskutečněno pomocí bočního nástrčného připojení (QS-6). Upevnění k držáku bylo provedeno kontramaticí (velikost závitu – M14x1). Hmotnost jednoho kusu přísavky se všemi prvky je 87 g.



Obr. 31 Plochá přísavka [24]

### 5.2.3 Šroubení

Všechny pneumatické spoje na efektoru jsou uskutečněny pomocí nástrčných spojení Quick Star (QS, Obr. 32). Jedná se o jednoduché a spolehlivé řešení. Nedochází k poškození hadice z důvodu západky vyrobené z nerezové oceli (1). Rázy a záchvěvy se absorbují. Hadice kalibrovaná na vnější průměr (2) se snadno uvolní stlačením uvolňovacího kroužku (3). Těsnicí kroužek je vyroben z nitrilkaučuku (4) a zajišťuje absolutní těsnost. Spoje jsou vhodné pro stlačený vzduch i pro podtlak.[25]



Obr. 32 Quick Star spojení [25]

Celkem bylo využito tři kusů T-spoje, dvou kusů Y-spoje, jednoho kusu rozbočovače pro připojení efektoru k médiu stlačeného vzduchu s vnějším závitem G1/4 a se třemi výstupy QS-8, a také redukce pro tento díl na nástrčné spojení QS-12. Posledními využitými prvky byly dva kusy rozbočovačů se 6 výstupy QS-6 a dvě redukce G1/8 na QS-8. Některé tyto součásti jsou pro představu zobrazeny na Obr. 33. Upevnění ke konstrukci bylo provedeno šrouby M3x20 a s drážkovými maticemi, a u rozbočovačů stahovacími páskami.



Obr. 33 Nástrčná spojení, rozbočovač, redukce [27]

### 5.2.4 Hadice

Pro nástrčné spojení QS musí být použity hadice s kalibrací na vnější průměr. Materiál jsem zvolil polyuretan. Ze softwaru Creo Parametric bylo vyčtena délka hadic:  $\varnothing$  6 mm – délka 4,9 m a  $\varnothing$  8 mm – délka 1,6 m. Uchycení bude vhodně provedeno stahovacími páskami.

### 5.3 Senzor pro měření vzdáleností

Na Obr. 34 je zobrazen zvolený miniaturní optoelektronický snímač WTB2S-2P3245 od firmy SICK [26]. Budou použity dva tyto snímače, z důvodu přepravování dvou krabic – pro předávání informací řídicímu systému. Jednak pro nalezení polohy OM a jednak pro hlášení nepřisátí OM. Senzor je vhodný pro různé typy podkladů, platí ale čím tmavší objekt tím horší přesnost. Hmotnost je pouhých 13 g a rozměry 21,8x13,5x7,7 mm. Další vlastnosti tohoto senzoru jsou uvedeny v Tab. 15.



Obr. 34 Senzor W2S-2 [26]

Tab. 15 Vlastnosti a parametry senzoru WTB2S-2P3245 [26]

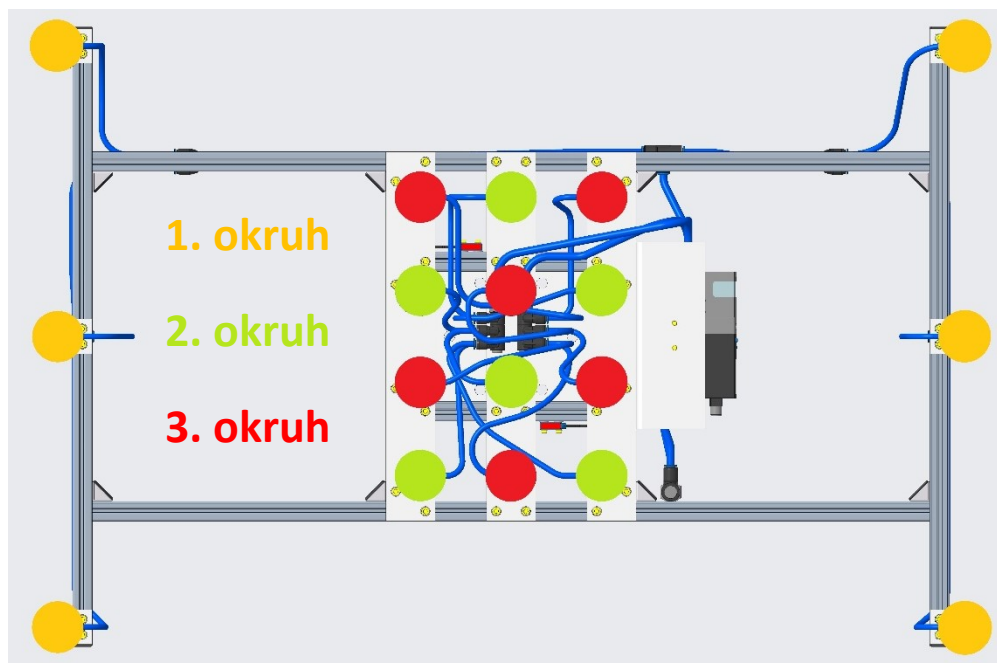
<b>Princip senzoru/ detekce</b>	Reflexní světelný snímač, Zaclonění pozadí
<b>Rozměry (Š x V x H)</b>	7,7 mm x 21,8 mm x 13,5 mm
<b>Provedení pouzdra (výstup světla)</b>	Ve tvaru kvádrů
<b>Snímací vzdálenost max.</b>	4 mm ... 110 mm <sup>1)</sup>
<b>Snímací dosah</b>	10 mm ... 90 mm <sup>1)</sup>
<b>Druh světla</b>	Viditelné červené světlo
<b>Vysílač světla</b>	PinPoint LED <sup>2)</sup>
<b>Velikost světelného bodu (vzdálenost)</b>	Ø 4,4 mm (60 mm)
<b>Vlnová délka</b>	640 nm
<b>Zvláštní použití</b>	Detekce malých objektů
<b>Napájecí napětí</b>	10 V DC ... 30 V DC <sup>3)</sup>
<b>Zbytkové vlnění</b>	$\leq 5 V_{ss}$ <sup>4)</sup>
<b>Odběr proudu</b>	20 mA <sup>5)</sup>
<b>Spínací výstup</b>	PNP
<b>Způsob spínání</b>	Spínání na světlo
<b>Výstupní proud <math>I_{max}</math>.</b>	< 50 mA
<b>Doba odezvy</b>	< 0,5 ms <sup>6)</sup>
<b>Spínací frekvence</b>	1.000 Hz <sup>7)</sup>
<b>Druh připojení</b>	Kabel s konektorem M8, 4pinovým, 200 mm <sup>8)</sup>
<b>Materiál kabelu</b>	PVC
<b>Průměr vedení</b>	Ø 3 mm
<b>Krytí</b>	IP67
<b>Teplota okolí provoz</b>	-25 °C ... +50 °C

- 1) Snímaný materiál s odrazivostí 90 % (vztaženo ke standardní bílé podle normy DIN 5033).
- 2) Průměrná životnost: 100 000 h při TU = +25 °C.
- 3) Mezní hodnoty.
- 4) Nesmí přesáhnout horní ani dolní mez tolerance Uv.
- 5) Bez zatížení.
- 6) Doba průchodu signálu s odporovou zátěží.
- 7) Při poměru světla a tmy 1:1.
- 8) Při teplotě pod 0 °C kabel neohýbejte.

Uchycení senzoru k rámu je uskutečněno standartně, jako u předešlých komponentů – drážkovými maticí a šrouby.

## 5.4 Pneumatický okruh

Pro přepravování OM byly navrženy tři pneumatické okruhy – proto jsou použity tři ejektory. První okruh je pouze pro přísavky vnější. Druhý a třetí se kříží tak, aby složili jako pojistný prvek, tzn. při funkci pouze jednoho z těchto okruhů je zaručena dostatečná přidržovací síla k manipulování. Rozmístění je zobrazeno na Obr. 35.



Obr. 35 Rozmístění pneumatických okruhů

### Parametry OM:

#### **Kartonový proklad**

- Rozměry – 1160x790x2 mm
- Pevnost kartonu v průtlaku –  $p_{kp}=400$  KPa
- Hmotnost –  $m_p = 0,22$  kg

#### **Krabice 1**

- Rozměry – 384x376x185 mm
- Pevnost kartonu v průtlaku –  $p_{kk}=800$  KPa
- Hmotnost –  $m_{k1} = 25$  kg

#### **Krabice 2**

- Rozměry – 384x188x185 mm

- Pevnost kartonu v průtlaku –  $p_{kk}=800\text{KPa}$
- Hmotnost –  $m_{k2} = 13 \text{ kg}$

#### 5.4.1 Výpočet maximálního zrychlení robotu

Jak bylo zmíněno v kapitole 3, musí být tento efektor schopný manipulovat současně se 2 ks 13 kg krabic, proto bude tento výpočet prováděn na jedné krabici s polovičním počtem přísavek. Následující výpočet mohl být proveden až po mém odborném odhadu následujících parametrů:

- Počet přísavek –  $n=6$  ks
- Průměr přísavky –  $D=50 \text{ mm}$
- Úroveň vakua –  $p_v = -80\text{KPa}$
- Bezpečnost –  $k=2$

#### Výpočet maximálního zrychlení při vertikálním pohybu

$$p = \frac{F}{S} \quad (5)$$

$$p_v = \frac{F}{S} \cdot k \quad (6)$$

$$\frac{p_v \cdot S}{k} = -(F_s + F_g) \quad (7)$$

$$\frac{p_v \cdot S}{k} = -m_{k2} \cdot a - m_{k2} \cdot g \quad (8)$$

$$a = -\frac{p_v \cdot S}{k \cdot m_{k2}} - g \quad (9)$$

$$a = -\frac{p_v \cdot \pi \cdot D^2 \cdot n}{4 \cdot k \cdot m_{k2}} - g = -\frac{-0,08 \cdot \pi \cdot 50^2 \cdot 6}{4 \cdot 2 \cdot 13} - 9,81 = 26,439 \text{ m} \cdot \text{s}^{-2} \quad (10)$$

#### Výpočet maximálního zrychlení při horizontálním pohybu

- Hodnota tření (karton-přísavka) –  $\mu=0,6$

$$p = \frac{F}{S} \quad (11)$$

$$p_v = \frac{F}{S \cdot \mu} \cdot k \quad (12)$$

$$\frac{p_v \cdot S \cdot \mu}{k} = -(F_s + F_g) \quad (13)$$



$$\frac{p_v \cdot S \cdot \mu}{k} = -m_{k2} \cdot a - m_{k2} \cdot g \quad (14)$$

$$a = -\frac{p_v \cdot S \cdot \mu}{k \cdot m_{k2}} - g \quad (15)$$

$$a = -\frac{p_v \cdot \pi \cdot D^2 \cdot n \cdot \mu}{4 \cdot k \cdot m_{k2}} - g = -\frac{-0,08 \cdot \pi \cdot 50^2 \cdot 6 \cdot 0,6}{4 \cdot 2 \cdot 13} - 9,81 = 11,939 \text{ m} \cdot \text{s}^{-2} \quad (16)$$

Na základě těchto výpočtů je stanoveno  $a_{max} = 10 \text{ m} \cdot \text{s}^{-2}$ , a rychlost doporučuji omezit na  $v = 10 \text{ m} \cdot \text{s}^{-1}$ . V reálném provozu by se tyto hodnoty musely testovat.

### Výpočet maximálního zrychlení při výpadku jednoho pneumatického okruhu

$$a = -\frac{p_v \cdot \pi \cdot D^2 \cdot n \cdot \mu}{4 \cdot k \cdot m} - g = -\frac{-0,08 \cdot \pi \cdot 50^2 \cdot 3 \cdot 0,6}{4 \cdot 2 \cdot 13} - 9,81 = 1,065 \text{ m} \cdot \text{s}^{-2} \quad (17)$$

Při výpadku jednoho okruhu:  $a_{1max} = 1 \text{ m} \cdot \text{s}^{-2}$ , doporučena rychlost  $v_1 = 1 \text{ m} \cdot \text{s}^{-1}$ .

### Kontrola protrhnutí kartonu v místě přísavky:

- Pevnost kartonu krabice v průtlaku –  $p_{kk}=800\text{KPa}$

$$p_{kk} > |p_v| \text{ -karton se neprotáhne} \quad (18)$$

## 5.4.2 Výpočet odporové síly

V podkapitole 5.4.1 byla zanedbána odporová síla vzduchu. U kartonových prokladů, při vertikálním pohybu ale tuto sílu zahrnu do výpočtů.

### Vztah pro výpočet odporové síly:

$$F_{odp} = C \cdot \frac{1}{2} \cdot \rho \cdot S \cdot v^2 \quad (19)$$

Kde C–součinitel odporu,  $\rho$ -hustota tekutiny, S-obsah desky, v-rychlost kolmá na plochu S

- Součinitel odporu pro rovnou a tenkou desku –  $C=1,2$
- Hustota vzduchu při 20 °C -  $\rho = 1,205 \text{ kg} \cdot \text{m}^{-3}$
- Doporučená rychlost (viz podkapitola 5.4.1) –  $v = 10 \text{ m} \cdot \text{s}^{-1}$

- Obsah prokladu:

$$S = a \cdot b = 1,16 \cdot 0,79 = 0,916 \text{ m}^2 \quad (20)$$

$$F_{odp} = 1,2 \cdot \frac{1}{2} \cdot 1,205 \cdot 0,916 \cdot 10^2 = 66,227 \text{ N} \quad (21)$$

### 5.4.3 Výpočet bezpečnosti u kartonových prokladů

Bezpečnost bude počítána s  $a_{max} = 10 \text{ m} \cdot \text{s}^{-2}$  viz podkapitola 5.4.1 a pouze s vnějšími přísavkami –  $n=6$

$$p_v = \frac{F}{S} \cdot k \quad (22)$$

$$p_v \cdot S = -(F_s + F_g + F_{odp}) \cdot k \quad (23)$$

$$k = \frac{p_v \cdot \pi \cdot D^2 \cdot n}{-4 \cdot (m_p \cdot (a + g) + F_{odp})} = \frac{-0,08 \cdot \pi \cdot 50^2 \cdot 6}{-4 \cdot (0,22 \cdot (10 + 9,81) + 66,227)} = 13,352 \quad (24)$$

Z výpočtu je zřejmé, že bezpečnost je velká pouze z šesti přísavkami, ale z důvodu poddajnosti kartonového prokladu, nemůže být brán ohled na tuto hodnotu. Proto budou pro manipulování s kartonovými proklady použity všechny přísavky.

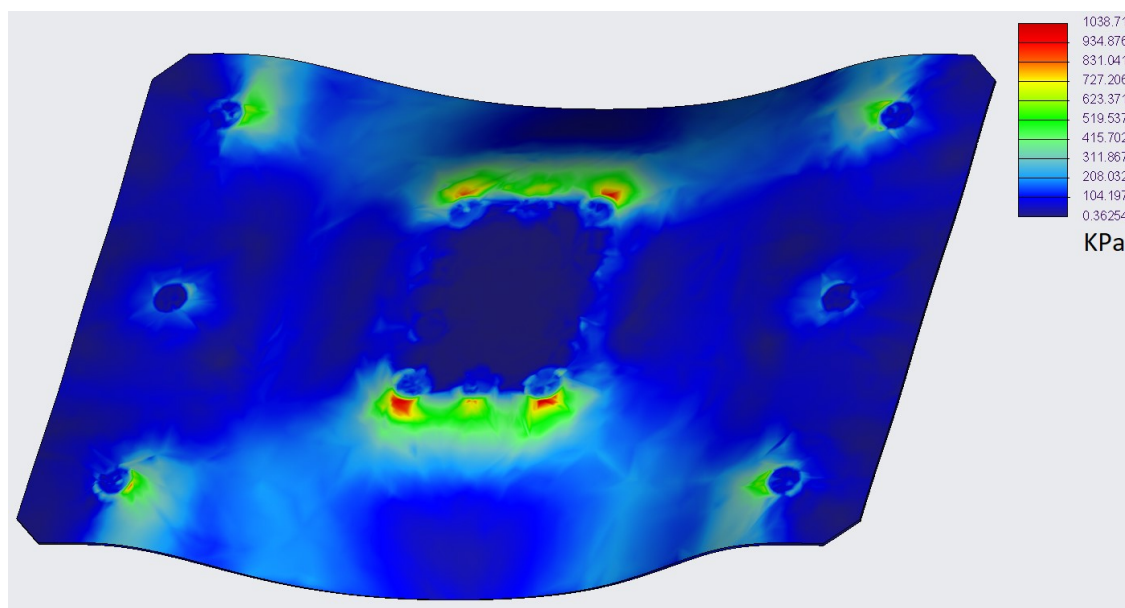
#### Kontrola protrhnutí kartonu v místě přísavky:

- Pevnost kartonu prokladu v průtlaku –  $p_{kp}=400\text{KPa}$

$$p_{kp} > |p_v| \text{-karton se neprotrhne} \quad (25)$$

### 5.4.4 Kontrola rozmístění přísavek

Jak můžeme vidět v podkapitole 5.4.3, bezpečnost přidržovací síly při manipulaci s proklady je dostatečně velká. Může nastat ale situace, že při přepravování a deformaci kartonu dojde v některém místě k protržení. Toto se nedá řešit jednoduše numericky, proto byl proveden výpočet pomocí metody konečných prvků softwarem CREO Simulate. Z Obr. 36 je patrné, že kolem přísavek a na jejich okrajích ve střední části, vzniká největší napětí, které může překročit pevnost kartonu v průtlaku.



Obr. 36 Výsledek pevnostní analýzy kartonového prokladu

Beru ale na vědomí, že tato simulace je pouze odhad, a že před uvedením efektoru do provozu se bude muset provést odzkoušení.

---

## 6 Závěr

Podle stanovených požadavků jsem navrhl tři varianty řešení, z kterých byla pomocí vícekritériální analýzy vybrána varianta A. Tato varianta byla následovně rozpracována do finální polohy.

Efektor se skládá z hliníkových profilů spojených pomocí úhelníků šroubovými spoji, na kterých jsou připevněné korozivzdorné plechy pro uchycení přísavek. Celkem bylo použito osmnáct přísavek, jak pro uchopování krabic, tak pro uchycení kartonových prokladů. Všechny pneumatické prvky byly vybrány od společnosti Festo, mezi nimiž byly tři ejektory pro tvorbu podtlaku a pro vytvoření třech nezávislých pneumatických okruhů. Senzor pro snímání vzdáleností efektoru od krabic byl vybrán od společnosti SICK.

Cílem výpočtů bylo určení největšího zrychlení a rychlosti pohybu robotu. Byla to úloha inverzní, z důvodu toho že jsem neznal časy cyklů. Dále byla provedena kontrola neprotrhnutí kartonu, kde jsem si vyzkoušel simulaci pomocí Creo Simulate.

Celá konstrukce by měla být podrobena pevnostní analýze, protože výpočet pevnosti a průhybů nelze řešit komplexně numericky. Neuváděl jsem ji zde, z důvodu toho že nejsem ještě s touto problematikou dostatečně seznámen, a budu se jí věnovat v následujících ročnících.

3D model a výkresová dokumentace byla provedena v softwaru Creo Parametric.

---

## Seznam použité literatury

- [1] JELÍNEK, Tomáš. *Podtlakové úchopné hlavice* [online]. BRNO, 2010 [cit. 2019-04-23]. Dostupné z: [http://www.umel.feec.vutbr.cz/~bousek/vak/KONSTRUKCE/PODTLAK\\_UCHOP\\_JELINEK.pdf](http://www.umel.feec.vutbr.cz/~bousek/vak/KONSTRUKCE/PODTLAK_UCHOP_JELINEK.pdf). Semestrální projekt. Vysoké učení technické v Brně, Fakulta elektrotechniky a komunikačních technologií, Ústav mikroelektroniky.
- [2] SKAŘUPA, Jiří. *Průmyslové roboty a manipulátory* [online]. Ostrava: Vysoká škola báňská - Technická univerzita, [2008] [cit. 2019-04-23]. ISBN 978-80-248-1522-0. Dostupné z: [http://www.elearn.vsb.cz/archived/FS/PRM/Text/Skripta\\_PRaM.pdf](http://www.elearn.vsb.cz/archived/FS/PRM/Text/Skripta_PRaM.pdf)
- [3] Přísavka (technika). In: *Wikipedia: the free encyclopedia* [online]. San Francisco (CA): Wikimedia Foundation, 2019 [cit. 2019-04-23]. Dostupné z: [https://cs.wikipedia.org/wiki/P%C5%99%C3%ADsavka\\_\(technika\)](https://cs.wikipedia.org/wiki/P%C5%99%C3%ADsavka_(technika))
- [4] Suction cups for every application and industry. *Piab AB* [online]. c2019 [cit. 2019-04-23]. Dostupné z: <https://www.piab.com/en-US/news/press-releases/suction-cups-for-every-application-and-industry/>
- [5] U15-3. *Piab AB* [online]. 2019 [cit. 2019-04-23]. Dostupné z: <https://www.piab.com/Products/suction-cups/shape/universal/u---universal-2-50-mm/u15-3/>
- [6] BL50-5. *Piab AB* [online]. c2019 [cit. 2019-04-23]. Dostupné z: <https://www.piab.com/Products/suction-cups/shape/multibellows/bl-5---bellows-long-30-50-mm/bl50-5/>
- [7] Model FP Cups. *SMC Pneumatic Cylinders* [online]. [cit. 2019-04-23]. Dostupné z: [https://www.smc-pneumatics.com/piab/Model\\_FP\\_Cups.pdf](https://www.smc-pneumatics.com/piab/Model_FP_Cups.pdf)
- [8] *Přísavky* [online]. PIAB, 2005 [cit. 2019-04-23]. Dostupné z: [http://www.vakuumtechnik.cz/download/piab/PIAB\\_prisavky\\_brozura\\_CZ.pdf](http://www.vakuumtechnik.cz/download/piab/PIAB_prisavky_brozura_CZ.pdf)
- [9] F75P. *Piab AB* [online]. c2019 [cit. 2019-04-23]. Dostupné z: <https://www.piab.com/Products/suction-cups/shape/flat/f---flat-duraflex-75-110-mm/f75p/>
- [10] D50. *Piab AB* [online]. c2019 [cit. 2019-05-07]. Dostupné z: <https://www.piab.com/Products/suction-cups/shape/deep/d---deep-15-50-mm/d50/>
- [11] DURAFLEX® suction cups. *Piab AB* [online]. c2019 [cit. 2019-04-23]. Dostupné z: <https://www.piab.com/en-US/about/innovations/duraflex-suction-cups/>
- [12] Vakuum. In: *Wikipedia: the free encyclopedia* [online]. San Francisco (CA): Wikimedia Foundation, 2019 [cit. 2019-04-23]. Dostupné z: <https://cs.wikipedia.org/wiki/Vakuum>
- [13] TOMÁŠ, Jaroslav. *Realizace efektoru s přísavkami pro PR ABB IRB 140* [online]. Ostrava, 2010 [cit. 2019-04-23]. Dostupné z: [https://dspace.vsb.cz/bitstream/handle/10084/81114/TOM392\\_FS\\_N2301\\_2301T013\\_2010.pdf?sequence=1&isAllowed=y](https://dspace.vsb.cz/bitstream/handle/10084/81114/TOM392_FS_N2301_2301T013_2010.pdf?sequence=1&isAllowed=y). Diplomová práce. VŠB – Technická univerzita Ostrava, Fakulta strojní, Katedra robototechniky.
-

- 
- [14] KENICKÝ, Antonín. *Demonstrační zařízení vakuových mechanismů* [online]. Ostrava, 2018 [cit. 2019-04-23]. Dostupné z: [https://dspace.vsb.cz/bitstream/handle/10084/129381/KEN0007\\_FS\\_B2341\\_2302R007\\_2018.pdf?sequence=1&isAllowed=n](https://dspace.vsb.cz/bitstream/handle/10084/129381/KEN0007_FS_B2341_2302R007_2018.pdf?sequence=1&isAllowed=n). Bakalářská práce. VŠB – Technická univerzita Ostrava, Fakulta strojní, Katedra hydromechaniky a hydraulických zařízení.
- [15] *Vakuum pro automatizaci* [online]. PIAB [cit. 2019-04-23]. Dostupné z: [http://www.vakuumtechnik.cz/download/piab/vakuum\\_pro\\_automatizaci\\_CZ.pdf](http://www.vakuumtechnik.cz/download/piab/vakuum_pro_automatizaci_CZ.pdf)
- [16] *Item Industrietechnik GmbH* [online]. 2019 [cit. 2019-04-23]. Dostupné z: <https://cz.item24.com/>
- [17] *DESTACO* [online]. c2010-2019 [cit. 2019-04-23]. Dostupné z: <https://dscczech.cz/>
- [18] Angle Bracket Set 5 20x20. *Item Industrietechnik GmbH* [online]. 2019 [cit. 2019-04-23]. Dostupné z: <https://cz-product.item24.com/cs/detaily-produktu/products/angle-bracket-zn-1001046547/angle-bracket-set-5-20x20-42502/>
- [19] *Product specification IRB 460: ROBOTICS* [online]. A9. ABB, 2018 [cit. 2019-04-23]. Dostupné z: <https://library.e.abb.com/public/7594b3c7da04464f96d3147ddfb7679/3HAC039611%20PS%20IRB%20460-en.pdf>
- [20] *Skupina Festo* [online]. [cit. 2019-04-23]. Dostupné z: [https://www.festo.com/cms/cs\\_cz/index.htm](https://www.festo.com/cms/cs_cz/index.htm)
- [21] Konfigurator Festo: Vacuum generator OVEM, metric. *Festo* [online]. [cit. 2019-05-09]. Dostupné z: [https://www.festo.com/cz/cs/npc/npc-config-ui/start.do?caller=KAT&product=OVEM.CONFIGURATIONVIEW&caturl=https%3A%2F%2Fwww.festo.com%2Fcat%2Fcs\\_cz%2Fproducts\\_OVEM&configurationId=4bb9991d-dd83-486c-a2ad-e08f8c98c71c&tabId=6a5ed9ef-a823-4879-b313-8b1cc2dcad52#!/product/OVEM\\_PRODUKTKONFIGURATOR](https://www.festo.com/cz/cs/npc/npc-config-ui/start.do?caller=KAT&product=OVEM.CONFIGURATIONVIEW&caturl=https%3A%2F%2Fwww.festo.com%2Fcat%2Fcs_cz%2Fproducts_OVEM&configurationId=4bb9991d-dd83-486c-a2ad-e08f8c98c71c&tabId=6a5ed9ef-a823-4879-b313-8b1cc2dcad52#!/product/OVEM_PRODUKTKONFIGURATOR)
- [22] Trademedia: Program. *TRADE MEDIA INTERNATIONAL* [online]. [cit. 2019-04-23]. Dostupné z: <https://www.konference-tmi.cz/program-36.html>
- [23] *Vakuové ejektory OVEM* [online]. Festo, 2018 [cit. 2019-04-23]. Dostupné z: [https://www.festo.com/cat/cs\\_cz/data/doc\\_cs/PDF/CZ/OVEM\\_CZ.PDF](https://www.festo.com/cat/cs_cz/data/doc_cs/PDF/CZ/OVEM_CZ.PDF)
- [24] Konfigurator Festo: Suction gripper ESG, round. *Festo* [online]. [cit. 2019-05-09]. Dostupné z: [https://www.festo.com/cz/cs/npc/npc-config-ui/start.do?caller=KAT&product=ESG\\_RUND.CONFIGURATIONVIEW&caturl=https%3A%2F%2Fwww.festo.com%2Fcat%2Fcs\\_cz%2Fproducts\\_ESG&configurationId=033da308-3b13-4286-8bb9-73c9fe426519&tabId=608281d0-05c6-455d-ab53-020d9a399755#!/product/ESG\\_RUND\\_PRODUKTKONFIGURATOR](https://www.festo.com/cz/cs/npc/npc-config-ui/start.do?caller=KAT&product=ESG_RUND.CONFIGURATIONVIEW&caturl=https%3A%2F%2Fwww.festo.com%2Fcat%2Fcs_cz%2Fproducts_ESG&configurationId=033da308-3b13-4286-8bb9-73c9fe426519&tabId=608281d0-05c6-455d-ab53-020d9a399755#!/product/ESG_RUND_PRODUKTKONFIGURATOR)
- [25] *Vícenásobné rozdělovací díly QS, Quick Star* [online]. Festo, 2006 [cit. 2019-04-23]. Dostupné z: [https://www.festo.com/cat/en-gb\\_gb/data/doc\\_CS/PDF/CZ/DISTRIBUTOR-QS\\_CZ.PDF](https://www.festo.com/cat/en-gb_gb/data/doc_CS/PDF/CZ/DISTRIBUTOR-QS_CZ.PDF)
- [26] *WTB2S-2P3245: W2S-2* [online]. SICK, 2019 [cit. 2019-04-23]. Dostupné z: [https://www.sick.com/media/pdf/2/32/632/dataSheet\\_WTB2S-2P3245\\_1064615\\_cs.pdf](https://www.sick.com/media/pdf/2/32/632/dataSheet_WTB2S-2P3245_1064615_cs.pdf)
-

- [27] Festo katalog: Nástrčná šroubení. *Festo* [online]. [cit. 2019-05-09]. Dostupné z: [https://www.festo.com/cat/cs\\_cz/products\\_\\_01198](https://www.festo.com/cat/cs_cz/products__01198)
- [28] *IRB 460 High speed robotic palletizer: ROBOTICS* [online]. ABB, 2018 [cit. 2019-05-16]. Dostupné z: [https://search-ext.abb.com/library/Download.aspx?DocumentID=ROB0206EN\\_A&LanguageCode=en&DocumentPartId=&Action=Launch](https://search-ext.abb.com/library/Download.aspx?DocumentID=ROB0206EN_A&LanguageCode=en&DocumentPartId=&Action=Launch)

---

## Přílohy

Příloha A: Výkresová dokumentace:

Výkres sestavy:	Celková sestava	KOW0030_SV-001
Výkresy podsestav:	Rám	KOW0030_SV-01
	Celek přísavky středové	KOW0030_SV-02
	Celek přísavky boční	KOW0030_SV-03
	Celek přísavka vnější	KOW0030_SV-04
	Celek ejektory	KOW0030_SV-05
	Celek QST-8	KOW0030_SV-06
	Celek QST-6	KOW0030_SV-07
	Celek QSY-8-6	KOW0030_SV-08
	Celek senzor W2S-2	KOW0030_SV-09
Výrobní výkresy:	Příruba	KOW0030_VV-01
	Prstenec	KOW0030_VV-02
	Držák přísavky středový	KOW0030_VV-03
	Držák přísavky boční	KOW0030_VV-04
	Držák přísavky 1	KOW0030_VV-05
	Držák ejektorů	KOW0030_VV-06
	ITEM lišta profil 5-210	KOW0030_VV-07
	ITEM lišta profil 5-200	KOW0030_VV-08
Výkres pneumatického okruhu:	Pneumatický okruh	KOW0030_PV-01

Příloha B: CD-ROM – Kowalczyk – Bakalářská práce

Obsah CD-ROM:

- Bakalářská práce ve formátu PDF
- Přílohy